

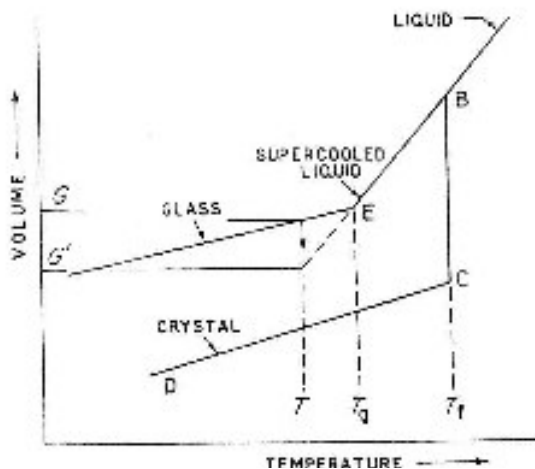
# شیشه سرامیک ها – گذشته، حال و آینده

## واهک کاسپاری مارقوسیان

دانشکده مهندسی مواد و متالورژی، دانشگاه علم و صنعت ایران

### ۱- مقدمه

اگر بخواهیم تعریفی ساده و در عین حال گویا از شیشه سرامیک ها ارائه دهیم، باید بگوییم که شیشه سرامیک محصول تبلور کنترل شده و هدفمند یک شیشه است. هدفمندی و کنترل در تبلور به مفهوم استفاده از جوانه‌ Zahای مناسب در مقادیر لازم و نیز بکارگیری برنامه عملیات حرارتی خاصی می‌باشد. پس منطقی است که شروع بحث ما با مروری بر اصول و مفاهیم علم شیشه باشد.



شکل ۱- ارتباط بین حالت مایع، بلور و شیشه

در شکل شماره ۱ منحنی حجم ویژه بر حسب دما را برابی یک مذاب ملاحظه می‌کنیم. فرض کنیم این ترکیب تک جزئی بوده و ذوب مرحله‌ای ندارد. مذاب از نقطه A سرد می‌شود و الفبای ترمودینامیک به ما می‌آموزد که مذاب به صورت طبیعی مسیر ABCD را بر می‌گزیند و با طی این مسیر در زیر دمای  $T_f$  که دمای انجماد است، به یک جامد بلوری مبدل می‌شود. اما واقعیت این است که لزوماً همه ماده‌این مسیر را طی نمی‌کنند و بعضاً با طی مسیر ABE پیش می‌روند. مایع بدون این که انجماد حاصل کند تا نقطه E نمی‌رسد و مرتباً از سیالیت آن کاسته می‌شود. همان طورکه ملاحظه می‌کنید در حد فاصل B تا E پیش می‌رود و مرتباً از سیالیت آن کاسته می‌شود. همان طورکه ملاحظه می‌کنید در حد فاصل B تا E اصطلاحاً به مذاب Super cooled liquid اطلاق می‌شود. در نقطه E تغییر شیب محسوسی در منحنی حاصل می‌شود و عملاً از این نقطه به بعد مایع صلب شده است و این در حالی است که انجماد به مفهوم علمی خودش رخ نداده است. این است که شیشه را جامد مجازی می‌نامند. البته به هر حال آن چه پس از نقطه E داریم جامد محسوب می‌شود زیرا می‌دانیم جامد یک تعریف علمی دارد و آن رسیدن به حالتی است که شکل و حجم ماده ثابت بماند. این حالت در بالای ویسکوزیته (گرانزوی)  $10^{13}$  پواز در شیشه حاصل می‌شود که همان دمای  $T_g$  یا انتقال به حالت شیشه‌ای است.

حال پس از بررسی مختصر مسیر شیشه به بحث اصلی یعنی شیشه سرامیک ها می‌پردازیم. باید گفت که تبلور به صورت یک آرزو در نهاد هر شیشه قرار دارد. در توضیحاتی که گذشت ملاحظه کردیم که ما مسیر ایده‌آل ترمودینامیکی را از مذابی که تمایل به تبلور و انجماد داشته است گرفتیم و به اجبار آن را به شیشه شدن هدایت کردیم. اما به تعبیر ساده باید گفت که یک شیشه برای حصول به آرمان خویش همیشه



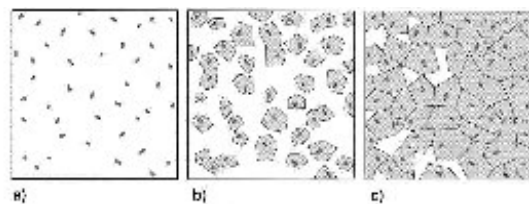
در انتظار فرصت است. این فرصت یک فرصت کنیتیکی است و اگر فراهم گردد هر شیشه‌ای کریستالیزه می‌شود. البته شاید در بعضی از سیستم‌های شیشه‌ای عمل تبلور به سختی انجام گیرد ولی به هر حال هر شیشه‌ای در صورت فراهم آمدن شرایط مناسب کریستالیزه خواهد شد. عموماً اگر در شیشه‌ای تبلور حاصل شود این یک نقص برای شیشه به حساب می‌آید اما علم بشر امروز این عیب را به حسن تبدیل کرده است و آن را به خدمت خود گرفته است. در اینجا تذکر یک نکته لازم به نظر می‌رسد و آن این که در بسیاری موارد اصولاً سرد کردن یک مذاب به گونه‌ای که هیچ کریستالیزاسیونی در آن رخ ندهد ممکن نیست و محصول تا حدی کریستالیزه می‌شود.

اما محصول مورد بحث ما این نیست بلکه در بحث شیشه سرامیک‌ها تبلور شیشه به صورت کنترل شده و آن طور که مدنظر ماست رخ می‌دهد و نه به هر صورتی که خود شیشه کریستالیزه شود. حد کریستالیزاسیون متغیر است ولی عموماً در شیشه سرامیک‌ها از ۵۰ تا ۱۰۰ درصد فاز بلوری وجود دارد. تا اینجا متوجه شدیم که شیشه سرامیک‌ها محصولاتی هستند که در آن‌ها ابتدا ترکیب مورد نظر به شکل دلخواه به صورت قطعه‌شیشه‌ای ساخته می‌شود و سپس با عملیات حرارتی کنترل شده به محصول مطلوب می‌رسیم.

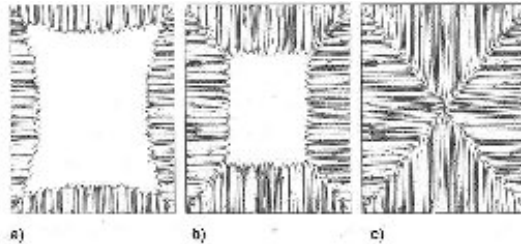
در اینجا به بررسی پاره‌ای از نقاط قوت صنعت شیشه سرامیک می‌پردازیم: توانایی استفاده از روش‌های بسیار متنوع، سریع و اقتصادی شکل دهنده شیشه‌ها نسبت به روش‌های بعض‌اً پیچیده‌تر، آهسته‌تر و غیر اقتصادی تر صنعت سرامیک. برای مثال می‌دانیم فرآیند ساخت تیغه‌های نازک، الیاف و... در صنعت شیشه بسیار اقتصادی تر و آسان‌تر نسبت به صنعت سرامیک انجام می‌گیرند.

- اتوماسیون بالا

- امکان بازیافت بیشتر در خط تولید شیشه نسبت به خط تولید سرامیک‌ها
- قابلیت کنترل بسیار دقیق نوع و مرفوژوئی فازهای رسوب‌کننده و ریز ساختار مربوطه در مرحله کریستالیزاسیون شیشه سرامیک‌ها.



شکل ۲

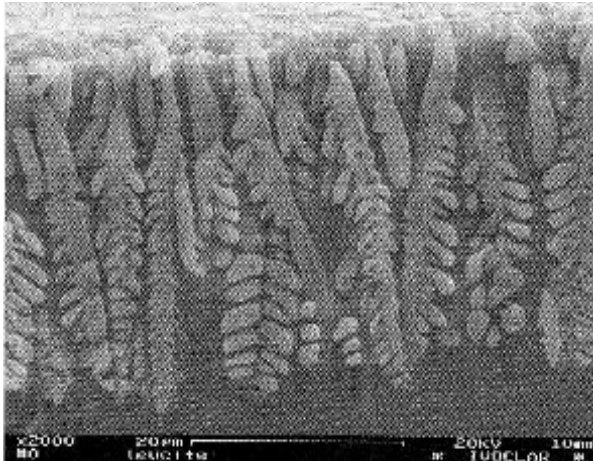


شکل ۳

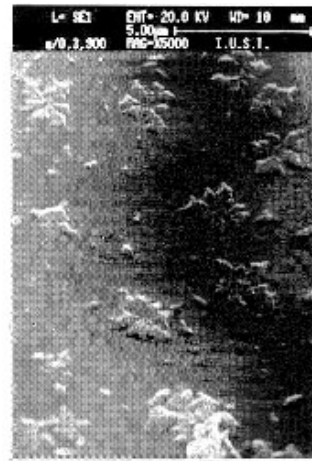
در شکل شماره ۲ شماتیکی از جوانه زنی در یک شیشه سرامیک را ملاحظه می‌کنید. توجه شود که برای یک تبلور موفق به جوانه‌های اولیه زیادی احتیاج داریم (مرحله a) و در مرحله b رشد انجام می‌شود و در مرحله c همزمان با به هم رسیدن دانه‌های رشد کرده توقف تبلور را داریم. همانطور که ملاحظه می‌شود مقداری فاز شیشه باقی مانده وجود دارد.

در تکمیل بحثی که پیرامون تبلور کنترل شده در شیشه سرامیک‌ها داشتیم به شکل شماره ۳ توجه می‌کنیم.

این شکل کریستالیزاسیون یک شیشه را بدون حضور جوانه‌ها و بدون عملیات حرارتی کنترل شده نشان می‌دهد. مشاهده می‌شود که به علت حضور مواضع مناسب تر جوانه زنی در سطح (که همواره وجود دارد)، کریستالیزاسیون از سطح شروع می‌شود که کریستال‌های درشت و جهت دار مشخصه این فرآیند هستند. در این فرآیند احتمال افت استحکام و دفرماسیون نمونه نیز وجود دارد. در زیر ساختارهای شکل ۴ و ۵ دو سیستم شیشه‌ای که در اولی جوانه زنی به همراه رشد مختصر و در دومی رشد کافی رخ داده است را ملاحظه می‌کنیم.



شکل ۵



شکل ۴

## ۲- تاریخچه شیشه سرامیک‌ها

برای اولین بار در سال ۱۷۳۹ میلادی یک شیمیدان فرانسوی به نام Reamur به این فکر افتاد که بطری‌های شیشه‌ای را کریستالیزه کند (با قرار دادن آن‌ها در بستری از گچ و ماسه و حرارت دادن آنها). اما او تجربه موفقی نداشت زیرا بطری‌ها دچار افت استحکام و دفرماسیون شدند. پس از Reamur نیز تا ۲۲۰ سال یعنی تا سال ۱۹۵۹ میلادی ظاهراً گزارش ثبت شده‌ای در جهت تکرار و اصلاح آزمایش به خطا رفتئه او وجود ندارد. اما در این سال بود که در ایالات متحده آمریکا فردی به نام Stookey برای اولین بار در سیستم  $\text{SiO}_2\text{-Al}_2\text{O}_3\text{-Li}_2\text{O}$  شیشه سرامیک ساخت. این محصول چند سال بعد توسط کمپانی Corning به صورت ظروف شوک پذیر یعنی ظروفی که قابلیت تحمل شعله مستقیم را داشتند به بازار آمد. اما برخلاف وقفه چند ساله در این مسیر در سال‌های اخیر سیرتحول شیشه سرامیک‌ها تحولات شگرفی را پشت سر گذاشته است که در ادامه مطالب به بخش‌هایی از آن بی‌خواهیم برد.

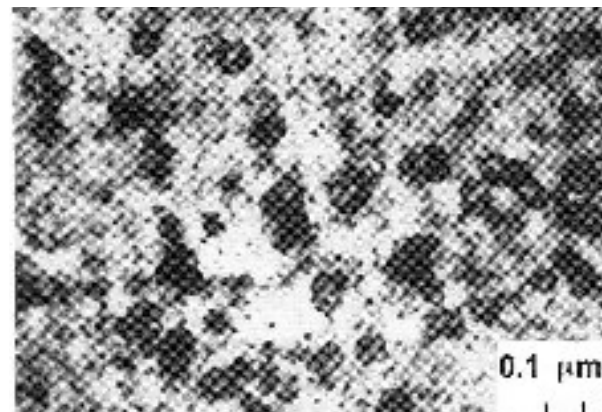
## ۳- مهمترین سیستم‌های شیشه سرامیکی

### ۱-۳- سیستم $\text{SiO}_2\text{-Al}_2\text{O}_3\text{-Li}_2\text{O}$

این سیستم که از بعد تاریخی هم در صدر قرار دارد از اهمیت ویژه‌ای برخوردار است. عوامل جوانه زای مناسب برای این سیستم  $\text{TiO}_2$ ,  $\text{ZrO}_2$  هستند.

نکته قابل توجه در بحث شیشه سرامیک‌ها این است که نوع و مقدار جوانه‌زا هم ریز ساختار و هم فاز کریستالیزه شده را کنترل می‌کند. بر این مبنای در این سیستم هر یک از سه فاز زیر می‌تواند کریستالیزه گردد: ۱- محلول جامد B- کوارتز ۲- Eucryptite- Spodumene ۳- انسیاط حرارتی بعضًا صفر و بعضًا منفی و نیز قابلیت کریستالیزه شدن به صورت بسیار ظرفی و ریز می‌توان اشاره کرد. در شکل ۶ یک ریز ساختار مربوط به این سیستم ملاحظه می‌شود.





شکل ۶

خواصی که مشخصه های فازهای کریستالین مذکور به نمونه ها می بخشند، ضریب انبساط حرارتی بسیار پایین و در نتیجه شوک پذیری بسیار خوب و نیز امکان ساخت محصولات شفاف می باشند. شفافیت خاصهای است که در سال های اخیر و در بحث شیشه سرامیک های اپتیکی و الکتروپایتیکی بسیار مطرح می باشد. در جداول شماره ۱ و ۲ برخی خواص مربوط به این سیستم درج شده است.

جدول ١

$\Delta_{\text{f}}(H_2O - D_2O)$	$\delta$	$\tau$	$\theta$	$\eta$	$\Delta_{\text{f}}(H_2O - D_2O)$ فرموده
SKO	0.000	0.000	0.000	0.000	0.000
Al(OH) <sub>3</sub>	-0.002	0.000	0.002	0.000	0.000
H <sub>2</sub> O	-0.000	0.000	0.000	0.000	0.000
NaOH					0.000
ZnO					0.000
NH <sub>4</sub> Cl					0.000
TiO <sub>2</sub>	0.000	0.000	0.000	0.000	0.000
ZnO					0.000
مشکل های	$\Delta_{\text{f}}(H_2O - D_2O)$	$\delta$	$\tau$	$\theta$	$\Delta_{\text{f}}(H_2O - D_2O)$ فرموده
$\sigma(\alpha)$	0.000 (Y)	0.000 (Y)	0.000 (Y)	0.000 (Y)	0.000 (Y)
$\sigma(\beta - \gamma - \delta)$	0.000	0.000	0.000	0.000	0.000
$\sigma(\beta^2 - K_2)$	0.000	0.000	0.000	0.000	0.000
مشکل های	مشکل های	مشکل های	مشکل های	مشکل های	مشکل های
مشکل های	مشکل های	مشکل های	مشکل های	مشکل های	مشکل های

جدول ٢

Conc. (%)	$\mu\text{M}$						
200	10.0	10.0	10.0	10.0	10.0	10.0	10.0
100	5.0	5.0	5.0	5.0	5.0	5.0	5.0
50	2.5	2.5	2.5	2.5	2.5	2.5	2.5
250	—	—	—	—	—	—	—
125	—	—	—	—	—	—	—
62.5	—	—	—	—	—	—	—
NaOH	—	—	—	—	—	—	—
HCl	—	—	—	—	—	—	—
CaCO <sub>3</sub>	—	—	—	—	—	—	—
200	—	—	—	—	—	—	—
100	—	—	—	—	—	—	—
50	—	—	—	—	—	—	—
250	—	—	—	—	—	—	—
125	—	—	—	—	—	—	—
62.5	—	—	—	—	—	—	—
NaOH	—	—	—	—	—	—	—
HCl	—	—	—	—	—	—	—
CaCO <sub>3</sub>	—	—	—	—	—	—	—

خواص مذکور شیشه سرامیک های فوق را برای کاربردهایی نظیر ظروف و صفحات شوک پذیر، random،

آینه های تلسکوپ، لزها و موارد دیگری مناسب گردانیده است. شکل شماره ۷ برخی از این کاربردها را نشان می دهد.



شکل ۲-۷



شکل ۱-۷

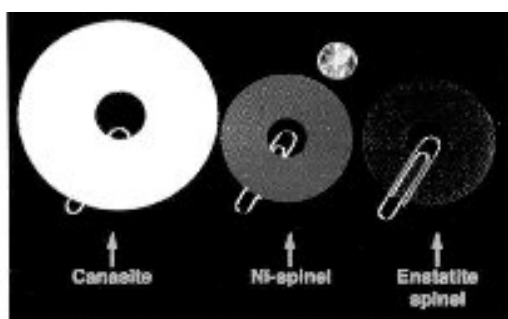
### ۲-۳-سیستم $\text{SiO}_2\text{-Al}_2\text{O}_3\text{-MgO (ZnO)}$

جوانه زاهای مؤثر در این سیستم نیز  $\text{TiO}_2$ ,  $\text{ZrO}_2$  هستند فازهای بلورین مهمی که می توانند در این سیستم تبلور یابند محلول جامد-B-کوارتز، کوردیریت، انستاتیت، گانیت، ویلمیت و اسپینل هستند. از جمله خواص مهمی که این فازها به محصول می بخشند استحکام مکانیکی و سختی بالا، دیرگذاری نسبی، ضریب انبساط حرارتی متوسط و پایین، عایق خوب الکتریسیته و هدایت حرارتی نسبتاً بالا را میتوان نام برد. در جدول ۳ برخی خواص و مشخصه های این سیستم درج گردیده است.

جدول ۳

متغیر	۰	۱	۲	۳	۴	۵	۶
دیسک	۷۳,۷%	۷۳,۷%	۷۳,۷%	۷۳,۷%	۷۳,۷%	۷۳,۷%	۷۳,۷%
دیسک زنگ	۲۶,۳%	۲۶,۳%	۲۶,۳%	۲۶,۳%	۲۶,۳%	۲۶,۳%	۲۶,۳%
بلور	۷۳,۷%	۷۳,۷%	۷۳,۷%	۷۳,۷%	۷۳,۷%	۷۳,۷%	۷۳,۷%
ZnO	۷۳,۷%	۷۳,۷%	۷۳,۷%	۷۳,۷%	۷۳,۷%	۷۳,۷%	۷۳,۷%
Al <sub>2</sub> O <sub>3</sub>	—	—	—	—	—	—	—
SiO <sub>2</sub>	۷۳,۷%	۷۳,۷%	۷۳,۷%	۷۳,۷%	۷۳,۷%	۷۳,۷%	۷۳,۷%
MgO	۷۳,۷%	۷۳,۷%	۷۳,۷%	۷۳,۷%	۷۳,۷%	۷۳,۷%	۷۳,۷%
CaO	۷۳,۷%	۷۳,۷%	۷۳,۷%	۷۳,۷%	۷۳,۷%	۷۳,۷%	۷۳,۷%
Fe <sub>2</sub> O <sub>3</sub>	۷۳,۷%	۷۳,۷%	۷۳,۷%	۷۳,۷%	۷۳,۷%	۷۳,۷%	۷۳,۷%
Na <sub>2</sub> O	۷۳,۷%	۷۳,۷%	۷۳,۷%	۷۳,۷%	۷۳,۷%	۷۳,۷%	۷۳,۷%
K <sub>2</sub> O	۷۳,۷%	۷۳,۷%	۷۳,۷%	۷۳,۷%	۷۳,۷%	۷۳,۷%	۷۳,۷%
SiO <sub>2</sub> -Al <sub>2</sub> O <sub>3</sub> -MgO (ZnO)	۷۳,۷%	۷۳,۷%	۷۳,۷%	۷۳,۷%	۷۳,۷%	۷۳,۷%	۷۳,۷%
دیسک سرامیک	۷۳,۷%	۷۳,۷%	۷۳,۷%	۷۳,۷%	۷۳,۷%	۷۳,۷%	۷۳,۷%
دیسک مس	۲۶,۳%	۲۶,۳%	۲۶,۳%	۲۶,۳%	۲۶,۳%	۲۶,۳%	۲۶,۳%
دیسک مس زنگ	۷۳,۷%	۷۳,۷%	۷۳,۷%	۷۳,۷%	۷۳,۷%	۷۳,۷%	۷۳,۷%
دیسک مس مس زنگ	۲۶,۳%	۲۶,۳%	۲۶,۳%	۲۶,۳%	۲۶,۳%	۲۶,۳%	۲۶,۳%

شیشه سرامیک های این سیستم در کاربردهایی چون زیر پایه های صنایع الکترونیک (Substrate)، radom، دیسک های حافظه های مغناطیسی مطرح هستند. در شکل ۸ تصاویری مربوط به برخی محصولات ساخته شده در این سیستم ارائه شده است.



شکل ۸

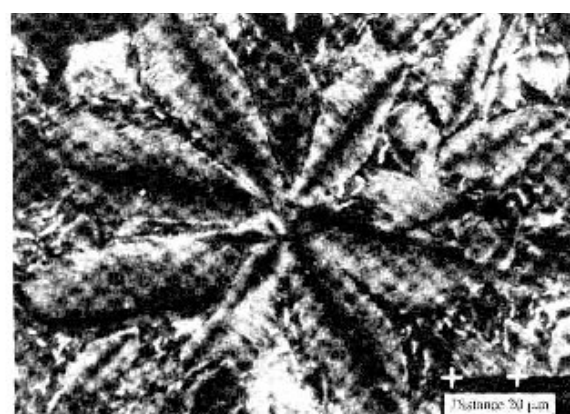
### ۳-۳-سیستم $\text{SiO}_2\text{-Al}_2\text{O}_3\text{-CaO (MgO)}$

جوانه زاهای مؤثر در این سیستم  $\text{Cr}_2\text{O}_3$  و سولفیدهای آهن و منگنز هستند. فازهای بلورین مهمی که در این سیستم کریستالیزه می‌شوند، وولاتونیت، آنورتیت و دایوپساید هستند.

جدول ۵

لرکوب	۱	۲	۳	۴	۵	۶
$\text{SiO}_2$	۷۰,۵٪	۴۹,۵٪	۳۷,۰٪	۲۷,۰٪	۱۷,۰٪	۸,۰٪
$\text{Al}_2\text{O}_3$	۲۵,۰٪	۴۰,۰٪	۴۰,۰٪	۴۰,۰٪	۴۰,۰٪	۴۰,۰٪
$\text{CaO}$	۱۵,۰٪	۱۱,۰٪	۱۰,۰٪	۱۰,۰٪	۱۰,۰٪	۱۰,۰٪
$\text{TiO}_2$	۱,۰٪	۱,۰٪	۱,۰٪	۱,۰٪	۱,۰٪	-
$\text{MgO}$	-	-	-	-	-	۱,۰٪
$\text{MnO}$	-	-	-	-	-	۰,۰-۰,۱٪
$\text{FeO}$	-	-	-	-	-	۰,۰-۰,۱٪
$\text{MnO}$	-	-	-	-	-	۰,۰-۰,۱٪
$\text{P}_2\text{O}_5$	-	-	-	-	-	۰,۰-۰,۱٪
$\text{ZnO}$	-	-	-	-	-	۰,۰-۰,۱٪
عدها	۴۹,۱۰٪	۴۹,۰۰٪	۴۹,۰۰٪	۴۹,۰۰٪	۴۹,۰۰٪	۴۹,۰۰٪
درجه حریق	۹۵,۰٪	۹۵,۰٪	۹۵,۰٪	۹۵,۰٪	۹۵,۰٪	۹۵,۰٪
$\text{C}(\text{H})$	-	-	-	-	-	-
وزن	-	-	-	-	-	-
$\text{K}_{2}\text{O}$	-	-	-	-	-	۰,۰-۰,۱٪
$\text{Na}_2\text{O}$	-	-	-	-	-	۰,۰-۰,۱٪

مقاومت سایش، مقاومت خوردگی و استحکام بالای محصولات شیشه سرامیکی این سیستم را برای کاربردهای زیر مناسب قرار داده است: مصالح ساختمانی با استحکام بالا، سنگ نما پوشش‌های کف و پوشش‌های مقاوم در برابر خوردگی و سایش. این محصولات از سال‌ها پیش در شوروی سابق تولید می‌شد و به کار بردن آن در محیط‌های پرترددی مثل فروندگاه‌ها قابلیت‌های فوق الذکر را به اثبات رسانده است طوری که در شرایط کاری مذکور عمر مفیدی در حدود ۵۰ سال می‌توانند داشته باشند. نکته بسیار مهم در بحث این سیستم این است که می‌توان از ضایعات صنعتی مثل سرباره‌ها یا از مواد طبیعی مثل بازالت‌ها و کلاً موادی که در طبیعت به وفور یافت می‌شوند ولی کم کاربرد هستند، محصولات این سیستم را ساخت.



شکل ۹

در جدول شماره ۴ پاره‌ای از خواص این سیستم را ملاحظه می‌کنیم. جدول شماره ۵ خواص نوع خاصی از این محصولات را نشان می‌دهد که منحصرًا از سرباره‌ها ساخته شده‌اند و به نام Slagsitall مشهور هستند. در شکل شماره ۹ نیز ریزساختار بسیار جالبی از این سیستم ملاحظه می‌شود.

جدول ۴

محضیت	دایمی	گلبر	متغیر
چگالی	KJm <sup>2</sup>	۲۶۰۰-۲۷۵۰	۲۶۰۰-۲۷۰۰
قطعه نرم شدن	C	۹۰-۱۰۰	۹۰
استحکام خوشی	MPa	۷۸/۳-۱۱۷/۳	۶۲/۸-۹۸/۱
استحکام لشاری	MPa	۶۹-۳۴۸	۴۴۲-۶۴۲
استحکام کششی	MPa	۲۵/۳-۳۶/۶	-
استحکام در پر پوسته	KJm <sup>2</sup>	۲/۷۸-۳/۹۲	۲/۹۳-۳/۷۲
مروی پائیگ	MPa, ۱۰ <sup>۳</sup>	۸/۴۰-۱۰/۸	۷/۴۳-۸/۸۲
تارب پوامون	-	۰/۲۱-۰/۲۸	۰/۲۹-۰/۳۶
پیکربندی سختی	MPa	۶۳۶-۷۳۶	۹۴۸-۹۸۵
تکه های وزنی آزمایش	g/cm <sup>3</sup>	۱/۰۱۵-۱/۰۵	۱/۰۳-۱/۰۷
ساده	-	-	-

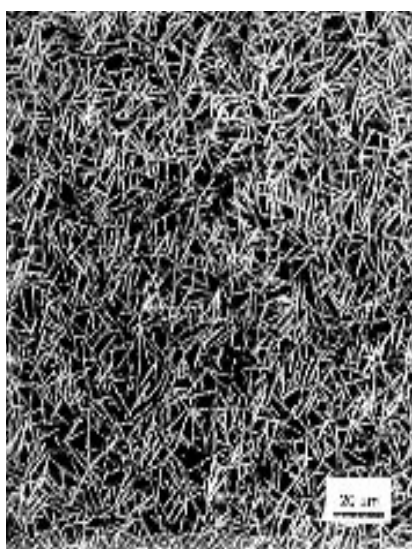
#### ۴-۳-سیستم $\text{SiO}_2\text{-Al}_2\text{O}_3\text{-MgO-CaO-R}_2\text{O-F}$

این دسته شیشه سرامیک های میکاپی قابل تراشکاری هستند و جالب این که با ابزار تراش معمولی بر روی این محصولات کار می شود.

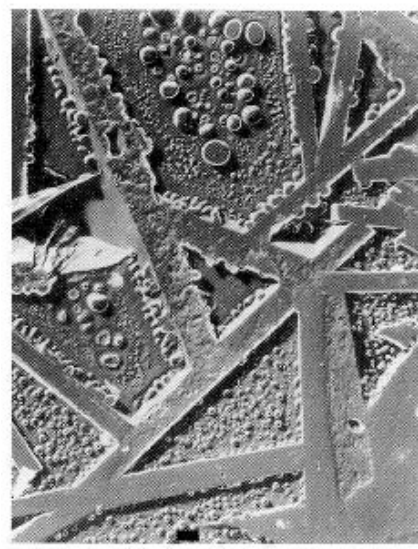
فازهای بلورین مهمی که در این سیستم کریستالیزه می شوند میکای فلوگوبیت و سایر فازهای میکاپی هستند. از جمله خواص مهم این دسته می توان قابلیت تراشکاری، استحکام دی الکتریک بسیار بالا (عایق خوب الکتریسیته) و نفوذ پذیری بسیار کم برای گازها را نام برد.

این خواص محصولات مذکور را برای کاربردهای زیر مناسب گردانیده است:

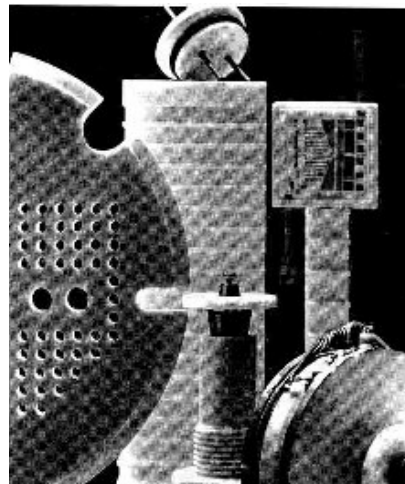
انواع عایق ها و مقره ها، صنایع هوا فضا، قطعات مختلف سیستم های خلاء، صنایع جوشکاری، صنایع هسته ای ( مقاومت در برابر تشعشع)، صنایع پزشکی و دندانپزشکی. در شکل شماره ۱۰ دو ریز ساختار مربوط به این سیستم آورده شده است که حضور ورقه های میکا در آن مشهود است. یکی از عوامل افزایش چرمگی (toughness) در این سیستم همین ورقه های میکا هستند. در شکل شماره ۱۱ برخی کاربردهای مربوط به شیشه سرامیک های این سیستم نمایش داده شده است.



شکل ۱-۱۰



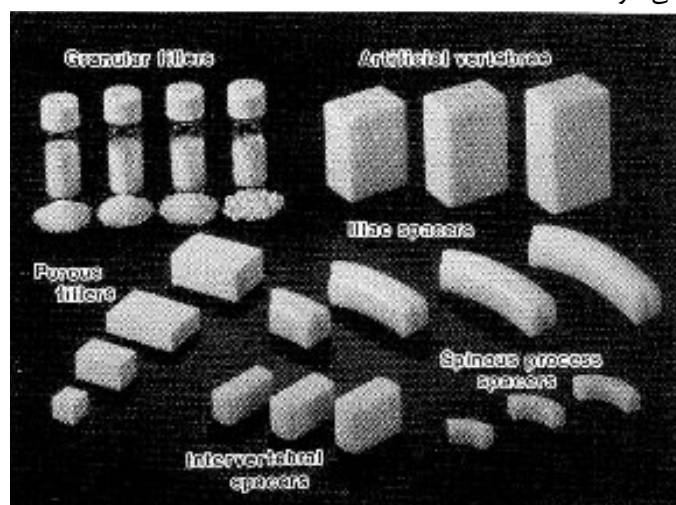
شکل ۱-۱۱



شکل ۱۱

### ۳-۵-سیستم $\text{SiO}_2\text{-CaO-MgO-P}_2\text{O}_5$

این دسته عموماً سرامیک های AW خوانده می شوند و دارای کاربردهای پزشکی به عنوان مواد باپاکتیو هستند. فازهای بلورین مهم در این سیستم آپاتیت و وولاستونیت هستند. از جمله خواص قبل ذکر در این سیستم استحکام و چرمگی بالا، باپاکتیو بودن و امکان اتصال یافتن با بافت های طبیعی بدن را می توان نام برد. این خواص کاشت های استخوانی در قسمت های مختلف بدن از جمله مهره های ستون فقرات را به کمک این شیشه سرامیک ها ممکن می سازد. در شکل شماره ۱۲ برخی محصولات ساخته شده در این سیستم ملاحظه می شوند.



شکل ۱۲

امروزه تمام سیستم های شیشه سرامیکی که تا اینجا معرفی کردیم به صورت تجاری تولید می شوند و مورد مصرف قرار می گیرند. اما در این قسمت به دو سیستم شیشه سرامیکی مهم دیگر که در حال حاضر بیشتر مراحل تحقیقاتی را پشت سر می گذارند اشاره خواهیم کرد.

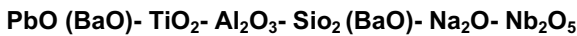
### ۴-سیستم های شیشه سرامیکی برای کاربردهای نوین و آینده

#### ۴-۱-شیشه سرامیک های مغناطیسی سیستم $\text{Fe}_2\text{O}_3\text{-B}_2\text{O}_3\text{-BaO}$

فازهای کربیستالین مهم: باریوم هگزا فرایت، فریت های گارنتی و اسپنیلی کاربردهای مدنظر: کاربردهای

بسیار متنوع مغناطیسی به صورت پودر یا قطعات یک پارچه در صنایع الکتریکی و الکترونیک و پزشکی.

#### ۴- شیشه سرامیک‌های نوع Perovskite در سیستم



فازهای کریستالین مهم: تیناتات باریوم یا سرب، نایوبات سدیم.

خواص قابل توجه: ثابت دی الکتریک بسیار بالا و بعضاً همراه با شفافیت.

کاربردهای مهم مدنظر: کاربردهای خازنی به عنوان دی الکتریک به صورت لایه نازک یا لایه ضخیم، کاربردهای اپتوالکترونیکی.

#### ۵- سایر کاربردهای مهم آینده برای شیشه سرامیک‌ها

##### ۵-۱- شیشه سرامیک‌های متخلخل

کاربرد: الک‌های مولکولی، فیلترها و پایه کاتالیست‌ها، کاربردهای متنوع پزشکی

##### ۵-۲- حسگرهای شیشه سرامیکی

کاربردها: اندازه‌گیری رطوبت، غلظت سنجی بعضی گازها، حسگرهای پیزوالکتریک

شیشه سرامیک‌ها جهت دفن زباله‌های هسته‌ای

شیشه سرامیک‌های نانوساختار با کاربردهای نظیر: شیشه سرامیک‌های شفاف با کاربردهای ابتدیکی و اپتوالکتریکی و شیشه سرامیک‌های پزشکی.

در شکل ۱۰ یک شیشه سرامیک متخلخل را ملاحظه می‌کنیم.

#### ۶- نتیجه گیری نهایی

- با بررسی تعدادی از تیترهای پژوهه‌های تحقیقاتی حوزه‌های زیر به ترتیب دارای اهمیت بیشتری

- تشخیص داده شدند که به نظر می‌رسد در آینده از نظر تولیدی و صنعتی نیز اهمیت روزافروزی را کسب کنند.

- شیشه سرامیک‌های مغناطیسی

- شیشه سرامیک‌های متخلخل با کاربردهای پزشکی و غیر پزشکی

- شیشه سرامیک‌های شفاف

- شیشه سرامیک‌های فرووالکتریک

- شیشه سرامیک‌های قابل تراشکاری

جناب آقای دکتر مارقوسیان

انتخاب شایسته جنابعالی را به عنوان استاد نمونه دانشگاه علم و صنعت ایران تبریک عرض می‌نماییم. آرزومندیم در همه مراحل زندگی موفق و سر بلند باشید.

اذیمن سرامیک ایران

# نگرشی بر وضعیت آموزش مهندسی سرامیک در ایران

حسین سرپولکی - زهرا صالحپور

hsarpoolaky@iust.ac.ir

گروه سرامیک - دانشکده مهندسی مواد و متالورژی - دانشگاه علم و صنعت ایران

با گذشت بیش از بیست و دو سال از تاسیس رشته مهندسی سرامیک، مروری بر وضعیت آموزش در این رشته و همچنین پیشرفت‌های کمی-کیفی ایجاد شده طی این سالها ضروری بنظر میرسد. در مقاله حاضر با توجه به اطلاعات دریافتی از مراکز و موسسات آموزش عالی که آموزش رشته سرامیک را در مقاطع کارданی، کارشناسی، کارشناسی ارشد و دکتری بهره‌دارند با نگاهی آماری، به بررسی پیشرفت آموزش سرامیک و چالش‌های موجود در این راه پرداخته و چشم‌اندازی از دیروز، امروز و آینده آموزش سرامیک برای خوانندگان محترم ارائه مینماید.

پیشگام آموزش مهندسی سرامیک در ایران، دانشگاه علم و صنعت ایران می‌باشد که در نیمه دوم سال ۱۳۶۱ پس از انقلاب فرهنگی و همزمان با بازگشایی دانشگاه‌ها و به دنبال تفکیک رشته مهندسی مواد به پنج گرایش: آهن و فولاد، فلزات غیر آهنی، ریخته گری، شکل دادن فلزات و سرامیک اقدام به پذیرش دانشجو در این رشته نمود. با توجه به دستورالعمل صادره درخصوص تعیین گرایش مورد علاقه دانشجویان شاغل به تحصیل و پس از اینکه تعدادی از دانشجویان پیشین و پذیرفته شدگان سالهای قبل در رشته مهندسی مواد (متالورژی) از دانشگاه‌های سراسر کشور، علاقمندی خود را در ادامه تحصیل در گرایش سرامیک اعلام نمودند، اولین دوره آموزش مهندسی سرامیک با حضور دانشجویانی از دانشگاه‌های مختلف در دانشکده مهندسی مواد و متالورژی دانشگاه علم و صنعت ایران تأسیس شد. اولین دوره پذیرش دانشجو که دومین سری پذیرفته شدگان این رشته میباشد از طریق کنکور سراسری در سال ۱۳۶۲ و با ظرفیت ۳۵ نفر انجام پذیرفت.

دانشگاه‌های آزاد مبید، تبریز و قزوین بترتیب در سالهای بعد رشته سرامیک را در مقطع کارشناسی راهاندازی نمودند. جدول ۱ اطلاعات مربوط با تأسیس این رشته را ارائه نموده است.

جدول ۱- اطلاعات مربوط به تأسیس رشته کارشناسی سرامیک در دانشگاه‌های کشور

نام دانشگاه	علم و صنعت	آزاد مبید	قریون	تمدن	آزاد مجتمعی	آزاد ساده	آزاد شهریما	آزاد علوم پیشگفتاری
سال تأسیس	۱۳۶۲	۱۳۶۹	۱۳۷۲	۱۳۷۳	۱۳۸۰	۱۳۸۰	۱۳۸۰	۱۳۸۰
سال اول پذیرش	۳۵	؟	۲۵	۳۲	۵۰	۷۵	۷۵	۱۵۰
پذیرش ۸۳	۲۳	۱۶۲	۲۰	۳۲	۴۶	۵۹	۵۸	۱۵۰

با توجه به برنامه توسعه تحصیلات تکمیلی، اولین دوره کارشناسی ارشد سرامیک با پذیرش پنج دانشجو در سال ۱۳۶۵ در دانشگاه علم و صنعت آغاز بکار نمود. تلاش و کوشش مستمر پژوهشگاه مواد و انرژی در انجام موفقیت‌امیز پژوهش‌های پژوهشی سرامیک و همکاری نزدیک با دانشگاه علم و صنعت همراه با جذب فارغ‌التحصیلان این رشته سرامیک منجر به برنامه‌ریزی جهت تربیت دانشجو در مقطع کارشناسی ارشد



سرامیک و پذیرش دانشجو در سال ۱۳۷۲ در این پژوهشگاه گردید. سپس دانشگاههای تربیت مدرس، شریف و واحد علوم و تحقیقات دانشگاه آزاد نیز در سالهای بعد کارشناسی ارشد سرامیک را دایر نمودند(جدول ۲)

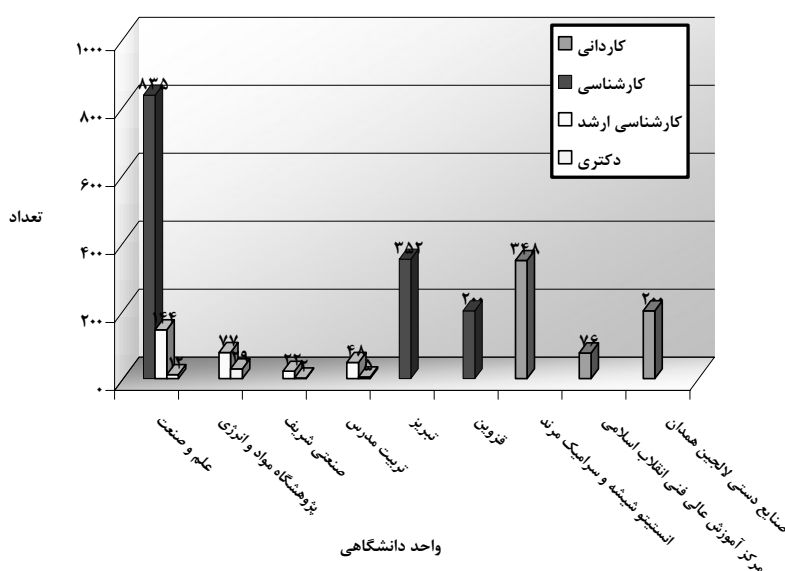
جدول ۲- تأسیس کارشناسی ارشد سرامیک در دانشگاههای کشور

دانشگاه	علم و صنعت	پژوهشگاه مواد و انرژی	تربیت مدرس	شریف	آزاد علوم تحقیقات
سال تأسیس	۱۳۶۵	۱۳۷۲	۱۳۷۳	۱۳۸۰	۱۳۷۳
پذیرش سال اول	۵	۵	۵	۵	۹
پذیرش ۸۳	۱۹	۱۵	۸	۵	۱۰

برنامه‌های آموزش تحصیلات تكمیلی در ایران با تأکید بر تأسیس مقاطع دکترای تخصصی بمنظور کاهش نیاز به اعزام دانشجو به خارج به تصویب رسید. در همین راستا برنامه‌ریزی دکترای مواد مهندسی در همه گرایش‌ها از جمله سرامیک در سال ۱۳۷۰ در دانشگاه علم و صنعت ایران انجام گرفت. پس از آن در پژوهشگاه مواد و انرژی نیز دکترای مهندسی مواد گرایش سرامیک آغاز بکار نمود. سپس دانشگاههای تربیت مدرس، علوم و تحقیقات دانشگاه آزاد و دانشگاه شریف نیز سالهای بعد مبادرت به پذیرش دانشجوی دکترا در این رشته نمودند.

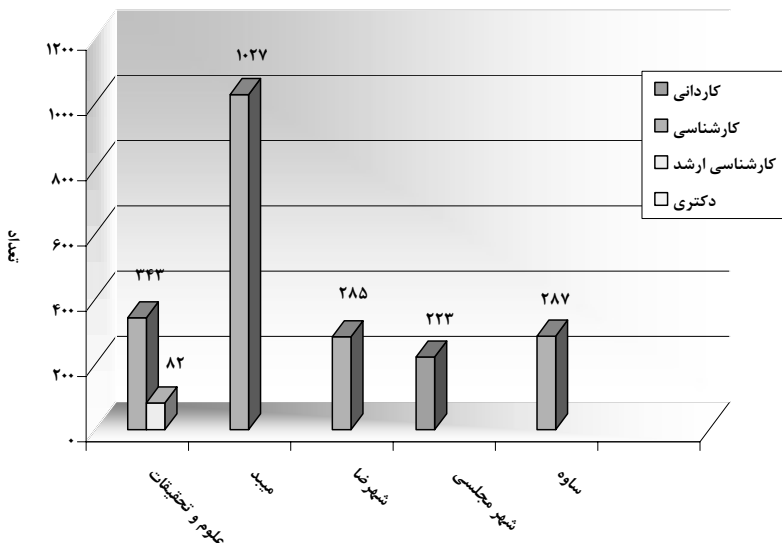
در آین نامه مصوب آموزش عالی رشته‌ای تحت عنوان "دکترای سرامیک" تعریف نشده است و در صورتی که پروژه دکترای دانشجویی در مورد سرامیک باشد ، نهایتاً تحت عنوان "مهندسی مواد (سرامیک)" می باشد . شایان ذکر است که تعداد ورودی گرایش سرامیک در مقطع دکترا بسته به تعداد دانشجویانی که که نمره قبولی را در آزمون ورودی مقطع دکترا کسب می کنند همچنین تعداد دانشجویان علاقمندی که پروژه تحصیلی خود را در زمینه سرامیک انتخاب مینمایند متفاوت می باشد .

#### آمار دانشجویان ورودی دانشگاههای دولتی



نمودار ۱- تعداد کل دانشجویان ورودی کارشناسی سرامیک به دانشگاههای دولتی





نمودار ۲- تعداد کل دانشجویان ورودی کارشناسی سرامیک به دانشگاه آزاد

توسعه کمی آموزش سرامیک در دو دهه اخیر منجر به افزایش تعداد فارغ‌التحصیلان کارشناسی گردیده است که در این میان بخشی از این کارشناسان در دوره‌های تحصیلات تکمیلی مشغول به تحصیل شده و قسمتی نیز جذب بازار کار شده‌اند که از این میان همانند سایر رشته‌ها تعدادی از فارغ‌التحصیلان در کارهای غیر تخصصی مشغول بکار گردیده‌اند.

نمودارهای ۱ و ۲ تعداد دانشجویان ورودی رشته سرامیک به دانشگاه‌های دولتی و آزاد در مقاطع تحصیلی مختلف را نشان میدهد. تعداد پذیرفته‌شدگان دانشگاه‌های دولتی در بخش کارشناسی حدود ۱۵۰۰ دانشجو میباشد که قابل مقایسه با پذیرفته‌شدگان کارشناسی سرامیک در دانشگاه‌های آزاد با پیش از ۲۰۰۰ نفر می‌باشد. با توجه به این که هنوز هیچ دانشجویی از واحدهای شهرضا، علوم و تحقیقات، شهرضا و ساوه دانش‌آموخته نشده‌اند این تعداد فارغ‌التحصیل تنها متعلق به واحد می‌باشد دانشگاه آزاد تعلق دارد. هم‌اکنون واحد علوم و تحقیقات دانشگاه آزاد و دانشگاه آزاد می‌باشد هر کدام با ظرفیت پذیرش سالانه حدود ۱۵۰ دانشجوی کارشناسی سرامیک نقش بسیار موثری در افزایش سریع و کمی کارشناسان سرامیک در سالهای اخیر داشت. این در حالیست که برخی دانشگاه‌های دولتی با درک مشکلات توسعه کمی آموزش در سالهای اخیر اقدام به تثبیت و حتی کاهش پذیرش در مقاطع کارشناسی را در برنامه خود داده‌اند بگونه‌ای که دانشگاه علم و صنعت ایران در سال تحصیلی ۸۴-۸۳ با کاهش تقریبی چهل درصدی ورودی کارشناسی سرامیک این تعداد را از ۳۵ به ۲۲ نفر تقیل داده است.

همانطور که گفته شد بر اساس تصمیم دولت مبنی بر تصحیح هرم آموزشی، کاهش ظرفیت پذیرش دانشجو در مقاطع کارشناسی و افزایش ظرفیت در مقاطع کارشناسی ارشد در نظر گرفته شده است. اکنون در دانشگاه علم و صنعت ایران مجموع دانشجویان نوبت اول و دوم کارشناسی ارشد (۴۰٪ اضافه ظرفیت با عنوان نوبت دوم یا دوره شبانه برای کارشناسی ارشد در نظر گرفته می‌شود) در تمامی گرایش‌ها از مجموع دانشجویان سه گرایش مقاطع کارشناسی موارد و متالورژی بیشتر است.

گرچه در آمارهای ارایه شده اصلاح هرم آموزشی به سمت مقاطع بالاتر (کارشناسی ارشد و دکتری) در دانشگاه‌های دولتی نشانه‌هایی از کنترل نسبی رشد تعداد دانش‌آموختگان سرامیک طی سالهای آینده می‌باشد اما بی توجهی به آموزش در مقاطع کارشناسی منجر به کاهش تعداد تکنیسین‌های آموزش دیده و به تبع آن در آینده باعث بروز مشکلاتی در بخش صنعت خواهد گردید. شاید این مساله ناشی از دیدگاهی باشد که در آن

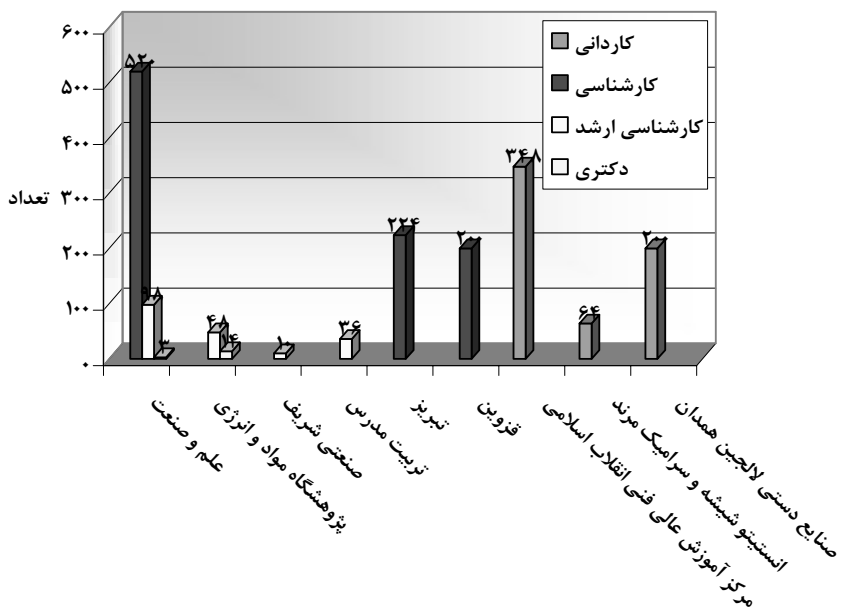
با پرورش مهندسین سرامیک ، افزون بر حد نیاز ، برخی از مهندسین ملزم به انجام وظایف یک تکنیسین در واحد صنعتی می گردند .

از سویی دیگر امکان تربیت تکنیسین سرامیک در بسیاری از شهرهای کشور وجود دارد ، بگونه ای که نیروهای بومی پس از طی دوره آموزشی در واحد تولیدی نزدیک محل سکونت خود مشغول به کار می شوند . این مساله در هنرستان های "جوار" (مانند هنرستان های مجاور کارخانه پارس سرام، مقره سازی و ...) مشاهده می شود و دست کم نیمی از نیروهای آموزش دیده در همان واحد صنعتی مشغول به کار می شوند . متأسفانه عدم توجه کافی به این بخش از آموزش عالی سبب تضعیف این فرایند ثمر بخش در صنعت سرامیک ایران شده است.

در سالهای اخیر آموزش و پرورش نقش بسیار برجسته ای در تربیت تکنیسین های فنی سرامیک در مجتمع فنی انقلاب اسلامی لویزان داشته است. کسب مجوز تبدیل این واحد آموزشی به دانشگاه شهید رجایی مشروطه به تاسیس و توسعه آموزش در مقاطع متنوع تحصیلی کارشناسی بوده است که متأسفانه منجر به توقف یکی از موفق ترین برنامه های آموزشی فنی یعنی تربیت دبیر و تکنیسین های فنی رشته سرامیک بهمراه دیگر رشته های فنی گردیده است.

توسعه کمی در مقطع کارشناسی سرامیک بصورت فراینده ای انجام شده است و به ویژه با حضور دانشگاه آزاد اسلامی نه تنها از بعد کمی هیچ کمبودی احساس نمی شود، بلکه این افزایش کمیت خطر کاهش کیفیت را به ویژه در واحد های تازه تاسیس گوزند می نماید. همانگونه که بیان شد رشد کمی برای رفع نیاز و حتی بیشتر از آن صورت گرفته است و اکنون در مرحله ای قرار داریم که باید به دنبال افزایش کیفیت و حفظ آن بود .

آمار فارغ التحصیلان دانشگاه های دولتی



نمودار ۳- تعداد دانش اموختگان مقاطع مختلف سرامیک دانشگاه های دولتی

نمودارهای ۳ و ۴ نشان میدهند که توجه به افزایش کمی فارغ التحصیلان رشته سرامیک بخصوص در دانشگاه آزاد، نگرانی ها را در مورد کاهش کیفیت فزونی می بخشد . سیاست های کلان آموزشی در دانشگاه های دولتی می بایستی به دنبال کاهش ظرفیت در مقطع کارشناسی و توجه به تحصیلات تكمیلی متمرکز

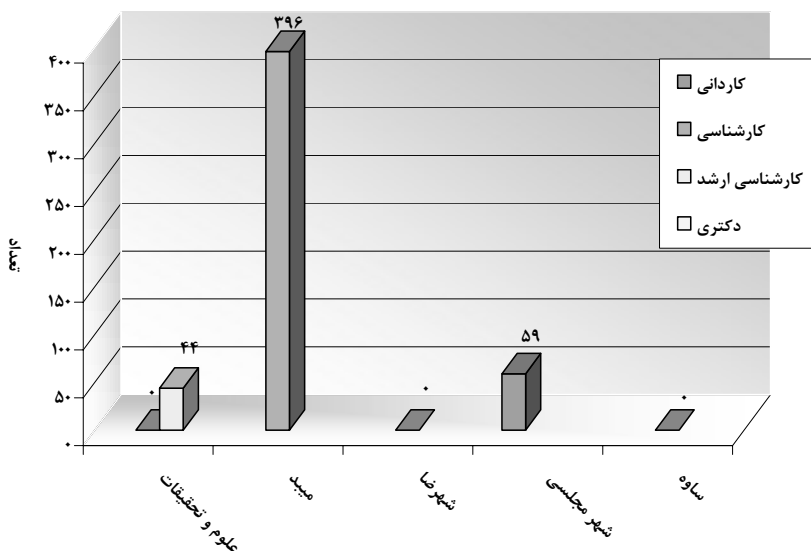


گردد. این در حالی است که برخی از فارغ التحصیلان دانشگاه های دولتی نیز در واحدهای دانشگاه آزاد به دنبال افزایش ظرفیت برای توسعه پایگاه شغلی خویش هستند. شاید این مشکل خود نیز به نوعی مرتبط با عدم جذب نیروهای دانش آموخته در واحدهای تولیدی باشد.

بنظر میرسد راهکار مقابله با این مشکلات با افزایش آموزش های کارآفرینی به دانشجویان، منجر به بازده بیشتر و مفیدتری از توان علمی و عملی آنها خواهد گردید به طوری که برخی از دانشجویان بتوانند با ایجاد یک واحد تولیدی کوچک و یا تاسیس یک سازمان خدماتی سرامیک را به عنوان یکی از گزینه های اشتغال خود مد نظر خود داشته باشد.

دانش آموختگان سرامیک میباشیست از هم اکنون خود را برای مقابله با مشکلات کاریابی در آینده آماده کنند. به بیان ساده، استفاده از عنصر نبوغ می تواند راهگشای آینده شغلی و زندگی یک دانش آموخته سرامیک برای ارضای شغلی و احساس لذت از یک کار مفید در کنار تامین اقتصادی معیشت وی باشد. از این رو ذهن خلاق دانشجویان و دانش آموختگان می بایست دائمًا فعال بوده و در خصوص قابلیت های موجود در صنعت سرامیک و خدمات جانبی آن بدنبال نوآوری و کارآفرینی های جدید باشند و عنوان یک گزینه طرح خوداستغالی در رشته سرامیک و خدمات جنبی آنرا مد نظر داشته باشند و هرگز نباید صرفاً به کارهای مفید دیگران اکتفا نمود.

آمار فارغ التحصیلان سرامیک دانشگاه آزاد اسلامی



نمودار ۶- تعداد دانش آموختگان مقاطع مختلف سرامیک دانشگاه آزاد

در پایان با طرح دو سوال مهم از خوانندگان گرامی تقاضای تأمل بیشتر در این زمینه را دارم:  
آیا سیاست گذاری مشخص و تدوین شدهای برای توسعه کمی آموزش سرامیک (به طور کلی آموزش) در نظام آموزشی وجود دارد؟

آیا نگرانی نسبت به توسعه بی رویه و افزایش تعریف نشده دانش آموختگان سرامیک بی مورد است؟

## مراجع و منابع:

1. Sarpoolaky, "Refractories Education and Research Potential in Iran", Proceedings of Tehran International Conference on Refractories, 4-6 May 2004, Iran
2. اطلاعات آماری ارسالی از دانشگاهها، مراکز آموزش عالی و پژوهشگاهها
3. مذاکرات شفاهی با مدیران گروه سرامیک مراکز آموزشی و پژوهشی



# ساخت سیمان استخوان آپاتیتی و بررسی خواص کاربردی آن

مهران صولتی هشجین، رقیه نعمتی  
m-solati@merc.ac.ir, n-nemati@merc.ac.ir

پژوهشگاه مواد و انرژی

**چکیده:** استخوان انسان، کامپوزیتی متشکل از یک فاز پیوسته از جنس کلاژن است که باورهای رین کلسیم فسفاتی (عدها هیدروکسی آپاتیت) در آن توزیع شده‌اند. از این‌رو، سیمان‌های کلسیم فسفاتی که خانواده بسیار بزرگی از ترکیبات را در بر می‌گیرند، می‌توانند به عنوان جایگزین و یا پرکننده عیوب استخوانی مورد استفاده قرار گیرند.

در پژوهش حاضر، نوعی سیمان کلسیم فسفاتی تهیه و ویژگی‌های آن ارزیابی شد. بخش جامد این سیمان شامل  $\text{CaCO}_3$ ,  $\text{CaHPO}_4$ ,  $\text{TCP}$  و  $\text{HA}$  و بخش مایع آن، محلول  $\text{Na}_2\text{HPO}_4$  با غلظت معین است. این دو بخش برای به دست آوردن خمیری یکنواخت با نسبت مایع به پودر مشخص (L/P)، با هم ترکیب شدند.

استحکام فشاری سیمان پس از نگهداری در محلول فیزیولوژیک و در دمای  $37^\circ\text{C}$  اندازه‌گیری شد. میزان تزریق پذیری نیز مورد بررسی قرار گرفت. به منظور تعیین فازهای نهایی تشکیل شده، آنالیزهای  $XRD$  و  $FTIR$  بر روی پودرهای سیمان، بعد از قراردادن آنها در محلول فیزیولوژیک در مدت زمان‌های مختلف، انجام شد.

افزایش غلظت  $\text{Na}_2\text{HPO}_4$  در فاز مایع این سیمان، افزایش استحکام آن را به دنبال داشت. افزایش مدت زمان ماندگاری در محلول فیزیولوژیک، استحکام این نوع سیمان را افزایش داد. افزایش نسبت مایع به پودر در سیمان، باعث تزریق پذیری بهتر این سیمان شد. آزمایش‌های  $XRD$  و  $FTIR$ ، بعد از قراردادن سیمان آماده شده در محلول فیزیولوژیک، حضور فاز  $\text{HA}$  را به عنوان فاز نهایی (فاز خالب) تأیید کردند. هر چه مدت زمان نگهداری در محلول فیزیولوژیک افزایش یافت، بر مقدار هیدروکسی آپاتیت افزوده شد.

## ۱ - مقدمه

سیمان استخوان، یکی از جدیدترین موادی است که در سه دهه اخیر در مهندسی پزشکی مورد توجه خاصی قرار گرفته است.

سیمان‌های استخوان به عنوان تثبیت کننده پروتزها و مواد کاشتنی یا به عنوان پرکننده در جراحی‌ها مورد استفاده قرار می‌گیرند[۱].

سیمان‌های استخوان عموماً بر دو پایه پلیمری و سرامیکی هستند که از معروفترین نوع پلیمری آن می‌توان به  $\text{PMMA}$  (پلی متیل متا اکریلات) اشاره کرد که برای تثبیت مفصل لگن خاصره بیشتر مورد استفاده قرار می‌گیرد. با وجود تعداد زیاد جراحی‌های لگن و زانو که در حال حاضر، در دنیا سالانه در حدود  $700,000$  می‌باشد، تا چندی قبل  $\text{PMMA}$ ، بهترین سیمان استخوان به شمار می‌آمد[۱]. اما از نکات منفی این سیمان می‌توان به ایجاد حرارتی در حدود  $90^\circ\text{C}$  درجه سانتی‌گراد، در حین گیرش اشاره کرد که می‌تواند موجب آسیب برای بافت زنده باشد.

در دو دهه اخیر، سیمان‌های سرامیکی با خواص جالب بیولوژیکی خود به طور روزافزونی جایگزین سیمان‌های پلیمری، به ویژه در کاربردهایی نظیر تثبیت ایمپلنت‌ها و پروتزها، پرکردن حفرات استخوانی و ترمیم بافت استخوانی شده‌اند. سیمان استخوان سرامیکی، پودر یا مخلوط پودری است که با آب و یا محلول آبی در دمای اتاق یا بدن مخلوط و به منظور پرکردن حفرات استخوان یا تثبیت ماده کاشتنی در بدن به کار



برده می‌شوند. بر اثر واکنش انجام شده، بلورهای کلسیم فسفات در فصل مشترک سیمان و استخوان طبیعی رسب و رشد می‌کنند [۲].

دسته‌ای از این سیمان‌ها شامل ترکیبات کلسیم فسفاتی می‌باشند که از خواص زیست‌سازگاری بسیار خوبی برخوردارند. علت آن، وجود عناصری همچون کلسیم، فسفر، سدیم و پتاسیم در ترکیب آنها می‌باشد. از آنجا که این عناصر به وفور در محیط فیزیولوژیک بدن وجود دارند، این سیمان‌ها از سازگاری مناسبی با بدن برخوردار می‌باشند [۱].

سیمان‌های استخوان از دو بخش پودری و مایع تشکیل شده‌اند. قسمت پودری، معمولاً شامل ترکیباتی نظیر تتراترکیبات (TTCP)، تری کلسیم فسفات (TCP)، دی کلسیم فسفات دی هیدرات (DCPD)، دی کلسیم فسفات بی آب (DCPA) و ۰۰۰۰۰ می‌باشد. فاز مایع، اغلب شامل محلول‌های آبی نظیر  $\text{Na}_2\text{HPO}_4$  یا  $\text{NaOH}, \text{NaH}_2\text{PO}_4 \cdot 2\text{H}_2\text{O}$  است. برای تهیه سیمان، این دو بخش با هم مخلوط می‌شوند تا خمیری یکنواخت به دست آید [۳].

اولین سیمان سرامیکی از نوع آپاتیتی بود که از اختلاط تتراترکیبات فسفات و فسفات دی کلسیم تهیه شد و اثرات سمیت و موتابسیون زایی در آن دیده نشد [۴].

واکنش سیمان با سلول‌های داخل و سطح استخوان، بسیار جالب است. استثوابلات‌ها در کشت سلولی، سیمان استخوان از نوع آپاتیتی را جذب کرده، سپس رشد می‌کنند و آنگاه سطوح سیمان استخوان را پوشانده و کلارژن را دفع می‌کنند. از این رو، انتظار می‌رود که سیمان‌های آپاتیتی که به منظور بازسازی بافت سخت آسیب‌دیده استفاده می‌شوند، در داخل استخوان جذب گردند [۴].

سیمان‌های کلسیم فسفاتی، اغلب برای ثابت کردن ابزار جراحی در مورد کاربردهای پزشکی نظیر ارتودنسی و دندان‌پزشکی، به کار برده می‌شوند. بعضی از کاربردهای جدید این مواد، شامل سیستم‌های انتقال و رهایش دارو، مهندسی بافت و پرکننده‌های استخوان به منظور استخوان سازی می‌باشند [۵-۶].

یکی از راههای دسته‌بندی سیمان‌های کلسیم فسفاتی براساس نوع کلسیم فسفات تشکیل شده در حین گیرش سیمان می‌باشد. از این رو می‌توان این سیمان‌ها را به چهار گروه دسته‌بندی کرد [۷-۸]:

۱. برآشیت، دی کلسیم فسفات دی هیدرات (DCPD).

۲. هیدروکسی آپاتیت $_{(2)}(\text{PO}_4)_6(\text{OH})$  ( $\text{Ca}_{10}(\text{PO}_4)_6(\text{OH})$ ).

۳. هیدروکسی آپاتیت فقیر از کلسیم  $. \text{Ca}_9(\text{HPO}_4)_5(\text{OH})_5(\text{CDHA})$ .

۴. فسفات کلسیم آمورف ACP که نسبت استوکیومتری ثابتی ندارد.

## ۲- فعالیت‌های تجربی

بخش پودری این سیمان شامل ۶۱٪ بتا تری کلسیم فسفات، ۲۶٪ دی کلسیم هیدروژن فسفات (مونتیت) (Merck No.2144)، ۱۰٪ کربنات کلسیم (Merck No.2069) و ۳٪ هیدروکسی آپاتیت (Merck No.2196) بود.

نسبت Ca/P مخلوط پودری برابر با ۱/۵ در نظر گرفته شد. این مواد برای اختلاط بهتر و یکنواخت‌تر، به مدت ۳ ساعت در آسیاب ماهواره‌ای با سرعت ۶۰ دور در دقیقه، مخلوط گردیدند. ماده اصلی سیمان، بتا تری کلسیم فسفات می‌باشد که از مخلوط کردن کربنات کلسیم و مونتیت با نسبت مولی ۱ به ۲ و حرارت‌دهی در دمای ۹۰۰ درجه سانتی‌گراد به مدت ۴ ساعت به دست آمد.

قسمت مایع سیمان که برای تشکیل یک خمیر مناسب با قسمت پودری سیمان مخلوط می‌گردد، از حل کردن پودر  $\text{Na}_2\text{HPO}_4$  در آب مقطر به دست آمد. محلول‌هایی با غلظت‌های متفاوت از ۱٪ تا ۸٪ آماده گردید.

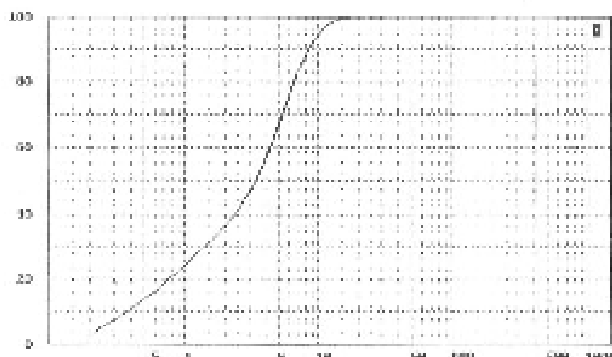


سیمان‌های مختلفی با نسبت‌های L/P (نسبت مایع به پودر cc/g) مختلف  $0/0.25$ ،  $0/0.3$ ،  $0/0.4$  و  $0/0.45$  و  $0/0.5$  ساخته شد.

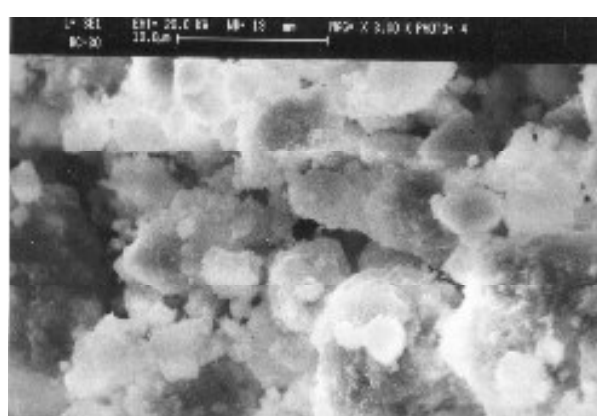
خواص فیزیکی پودرهای نظیر سطح ویژه، با روش BET از طریق جذب گاز نیتروژن و با استفاده از دستگاه Micromeritic Gemini و توزیع اندازه ذرات با دستگاه 22 fritsch, Analysete PSA اندازه‌گیری شد. نسبت P/Ca با استفاده از روش پلاسمای جفت شده القایی (ICP)، تعیین گردید. آنالیز فازی مواد اولیه و سیمان تهیه شده پس از گیرش، توسط پراش پرتو ایکس (XRD) و طیف سنجی فروسرخ (FTIR) مورد بررسی قرار گرفت. برای اندازه‌گیری تزریق پذیری سیمان‌ها از سرنگ‌های تجاری استفاده شد. برای این منظور پس از مخلوط شدن کامل قسمت پودر و مایع، سیمان داخل سرنگ شد و پس از گذشت ۳ دقیقه با نیروی دست (به حالت تزریق) به بیرون رانده شد. بررسی‌های میکروسکوپی ریزساختار بر روی نمونه‌ها با استفاده از میکروسکوپ الکترونی روبشی مدل Stereo scan 360-Leica Cambridge انجام گرفت. میزان استحکام فشاری با استفاده از دستگاه Instron Universal Testing Machine مدل ۱۱۹۶، بر روی نمونه‌هایی به قطر ۱۳ و ارتفاع ۲۶ میلی‌متر اندازه‌گیری شد.

### ۳- نتایج و بحث

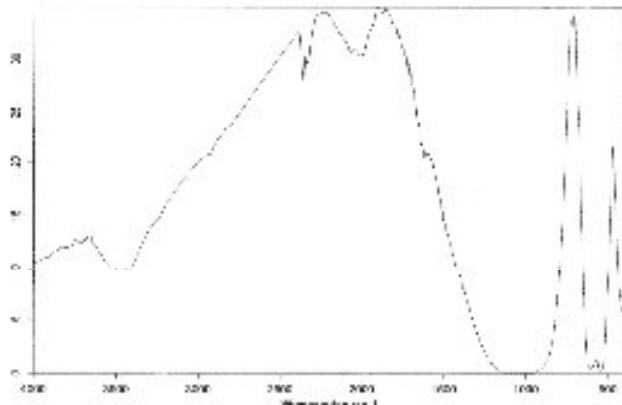
توزیع اندازه ذرات بخش پودری سیمان، تصویر میکروسکوپ الکترونی و طیف فروسرخ آن، پس از آن‌که به طور کامل در آسیاب ماهواره‌ای مخلوط شد، به ترتیب در شکل‌های ۱، ۲ و ۳ آورده شده است.



شکل ۱- توزیع اندازه ذرات بخش پودری سیمان قبل از مخلوط شدن با فاز مایع



شکل ۲- تصویر میکروسکوپ الکترونی بخش پودری سیمان قبل از مخلوط شدن با فاز مایع



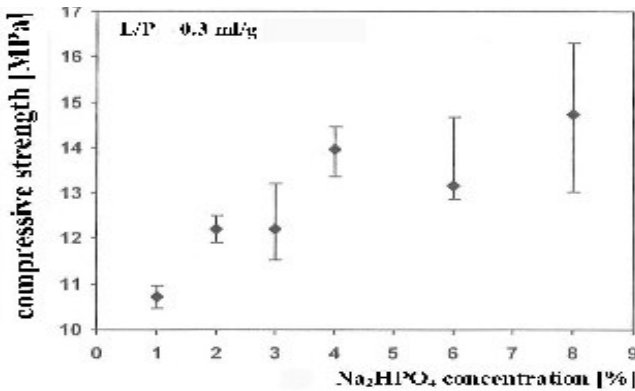
شکل ۳- طیف فروسرخ بخش پودری سیمان قبل از مخلوط شدن با فاز مایع

جدول ۱، pH فاز مایع سیمان با غلظت‌های مختلف  $\text{Na}_2\text{HPO}_4$  را نشان می‌دهد. افزایش غلظت  $\text{Na}_2\text{HPO}_4$  بر روی خواص کاربردی سیمان از جمله استحکام فشاری اثر می‌گذارد

جدول ۱- pH فاز مایع سیمان

pH	$\text{Na}_2\text{HPO}_4$ غلظت (%)
۸	۱
۸/۳	۳
۸/۹	۴
۹/۳	۶
۱۰	۸

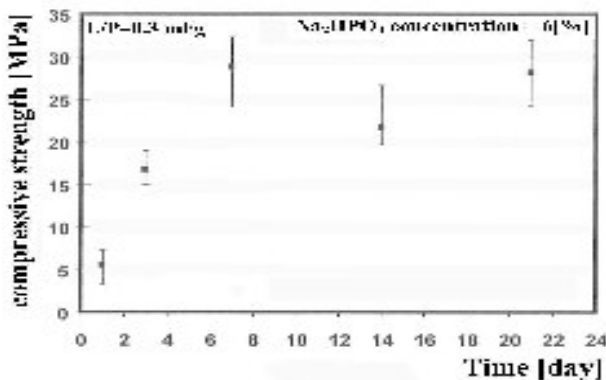
. شکل ۴ تأثیر غلظت فاز مایع بر استحکام فشاری سیمان را نشان می‌دهد. این سیمان‌ها با  $L/P = 0.3 \text{ ml/g}$ ، به مدت ۷۲ ساعت در محلول رینگر و در دمای ۳۷ درجه سانتی‌گراد نگهداری شدند. نتایج نشان می‌دهد که افزایش غلظت، افزایش استحکام فشاری را به دنبال دارد.



شکل ۴- اثر غلظت فاز مایع بر استحکام فشاری سیمان

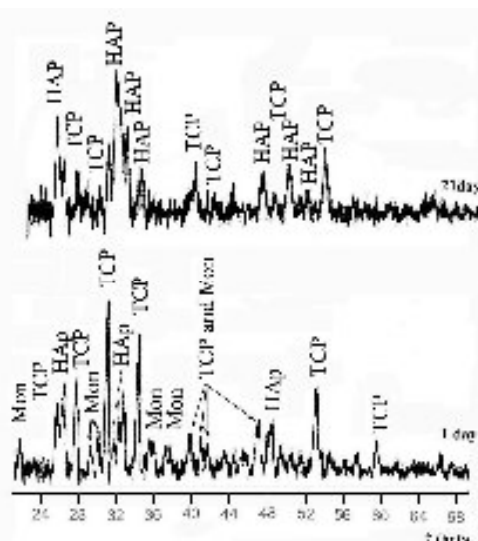
ترکیبات کلسیم فسفاتی، عمدهاً بسته به میزان اسیدی یا بازی بودنشان، در ساختار خود دارای مقادیر مختلفی از یون‌های فسفات اسیدی یا بازی هستند و در صورت افزایش یا کاهش یون‌های  $\text{OH}^-$  و  $\text{H}^+$  یا به عبارت دیگر تغییر pH، میزان تشکیل یا تجزیه نوعی خاص از کلسیم فسفات‌ها افزایش یا کاهش می‌یابد[۳]. در  $\text{pH} < 9$ ، رسبوهای تشکیل شده در ترکیبات کلسیم فسفاتی دارای نسبت Ca/P بیشتر از یک هستند و ترکیب، از دی کلسیم فسفات‌ها به هیدروکسی آپاتیت

نzedیک می‌شود، به طوری که در  $\text{pH}=9/5$  نسبت  $\text{Ca}/\text{P}$  به طور جهشی افزایش می‌یابد. در  $\text{pH}=10$  رسوب‌های تشکیل شده، غالباً آپاتیتی هستند [۹-۱۰]. افزایش غلظت  $\text{Na}_2\text{HPO}_4$  در فاز مایع این نوع سیمان، باعث افزایش pH محلول می‌گردد (جدول ۱). با افزایش غلظت فاز مایع و به تبع آن افزایش pH تا مقدار ۱۰، تشکیل بلورهای آپاتیتی سریع‌تر و بیشتر می‌شود. از آنجا که تشکیل بلورهای هیدروکسی‌آپاتیت باعث افزایش استحکام می‌گردد [۱۰]، پس می‌توان افزایش استحکام ناشی از افزایش غلظت فاز مایع سیمان را با دلایل توضیح داده شده، مربوط به تبدیل بتا تری کلسیم فسفات (فاز نیمه‌پایدار کلسیم فسفاتی) به فاز پایدار هیدروکسی‌آپاتیت دانست.



شکل ۵- استحکام فشاری سیمان در برابر زمان ماندگاری در محلول فیزیولوژیک

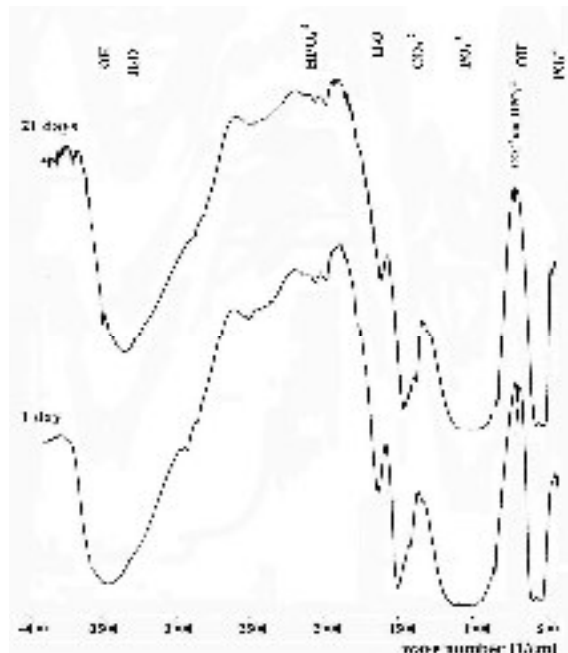
تغییرات استحکام فشاری سیمان استخوان بعد از اتمام عمل جراحی و گذشت زمان، بسیار مورد توجه جراحان قرار دارد. در شکل ۵، روند تغییرات استحکام بر حسب زمان ماندگاری در محلول فیزیولوژیک را می‌توان مشاهده کرد. استحکام سیمان پس از قرار گرفتن در محلول فیزیولوژیک افزایش می‌یابد و این روند ادامه دارد تا این‌که پس از یک هفته به سطح نسبتاً ثابتی می‌رسد. به طور کلی با گذشت زمان، واکنش تبدیل تری کلسیم فسفات به هیدروکسی‌آپاتیت و تشکیل بلورهای HA باعث افزایش استحکام فشاری می‌گردد [۱۰، ۱۱، ۱۲].



شکل ۶- الگوهای پراش اشعه X نمونه‌های سیمان (L/P=0.3, 6%  $\text{Na}_2\text{HPO}_4$ ) بعد از ۱ و ۲۱ روز نگهداری در محلول فیزیولوژیک



بررسی پژوهشگران نشان داده است که هیدروکسی آپاتیت، فاز غالب نهایی اکثر سیمان های کلسیم فسفاتی می باشد [۱۱ و ۱۲]. در تحقیق حاضر نیز، الگوهای پراش پرتو ایکس نمونه های سیمان مورد بحث بعد از یک و ۲۱ روز قرار گرفتن در محلول فیزیولوژیک و در دمای ۳۷ درجه سانتی گراد (شکل ۶) و آنالیز FTIR نمونه ها (شکل ۷)، روند تکمیل واکنش و تشکیل هیدروکسی آپاتیت را به عنوان فاز نهایی تأیید می کنند. پس از گذشت سه هفته، فازهای حاضر، هیدروکسی آپاتیت و بتاتری کلسیم فسفات می باشند که نسبت این دو فاز با گذشت زمان تغییر می کند. به طوری که از الگوهای پرتو ایکس نمونه های سیمان مشخص می شود، در حین واکنش های رخ داده، بتا تری کلسیم فسفات به هیدروکسی آپاتیت تبدیل می شود. با مقایسه طیف های فرو سرخ (شکل ۷) مشاهده می شود که طیف واقع در حدود  $3600\text{ cm}^{-1}$  که مشخصه حضور  $\text{OH}^-$  (معرف هیدروکسی آپاتیت) می باشد، در ترکیب سیمان قبل از واکنش با فاز مایع (شکل ۳) وجود ندارد. اما پس از مخلوط شدن سیمان با فاز مایع و گذشت زمان (شکل ۷)، طیف  $3600\text{ cm}^{-1}$  ظاهر می شود و در پایان ۲۱ روز، آشکارا قابل مشاهده می باشد. پس از ۲۱ روز، در طیف فروسرخ سیمان (شکل ۷) باندهای جذبی واقع در  $600\text{ cm}^{-1}$  و  $3600\text{ cm}^{-1}$  که نشانگر حضور  $\text{OH}^-$  در ساختار هستند به وضوح دیده می شوند. این بدان معفوم است که با گذشت زمان، بر مقدار هیدروکسی آپاتیت افزوده شده است.



شکل ۷- طیف های فروسرخ نمونه های سیمان ( $\text{L/P}=0.3, 6\% \text{Na}_2\text{HPO}_4$ ) ، بعد از ۱ و ۲۱ روز نگهداری در محلول فیزیولوژیک

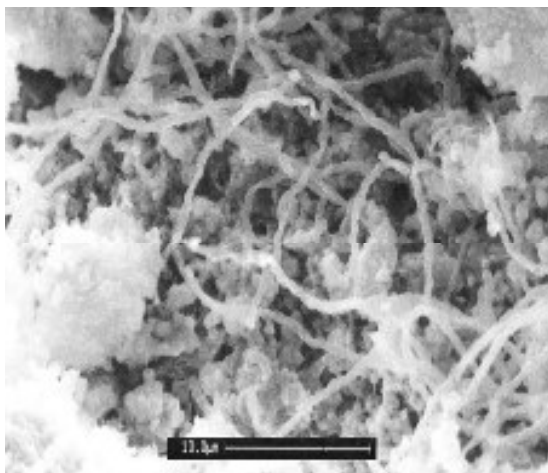
با توجه به نتایج نسبت های  $\text{Ca}/\text{P}$  به دست آمده از نمونه های مختلف سیمان (جدول ۲) و آنالیز EDAX سیمان بعد از سه هفته (شکل ۸)، که حضور عناصر کلسیم و فسفر و مقداری سدیم و کلر را نشان می دهد و با توجه به مشاهدات و نتیجه گیری از الگوهای پراش پرتو ایکس نمونه های سیمان (شکل ۶) و آنالیز FTIR نمونه های سیمان (شکل های ۳ و ۷)، می توان نتیجه گرفت که روند تکاملی تبدیل ترکیب سیمان به سمت هیدروکسی آپاتیت می باشد.



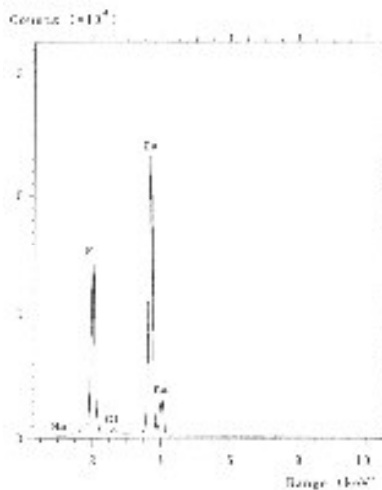
جدول ۲- نسبت Ca/P نمونه های سیمان

کد نمونه	مشخصات نمونه سیمان	نسبت Ca/P
BC	قبل از مخلوط شدن با فاز مایع	۱/۵۱
BC-3	۳ روز در محلول فیزیولوژیک نگهداری شده	۱/۵۹
BC-21	۲۱ روز در محلول فیزیولوژیک نگهداری شده	۱/۶۲

همچنین تصاویر میکروسکوپ الکترونی سیمان بعد از ۲۱ روز قرار گرفتن نمونه ها در محلول فیزیولوژیک، حضور فاز هیدروکسی آپاتیت با ساختارهای سوزنی و الیافی را تأیید کردند (شکل های ۱۰ و ۹).



شکل ۹- تصویر SEM از سیمان بعد از ۲۱ روز نگهداری در محلول فیزیولوژیک



شکل ۸- آنالیز EDAX سیمان (L/P=0.3, 6% Na2HPO4 ) بعد از ۲۱ روز نگهداری در محلول فیزیولوژیک



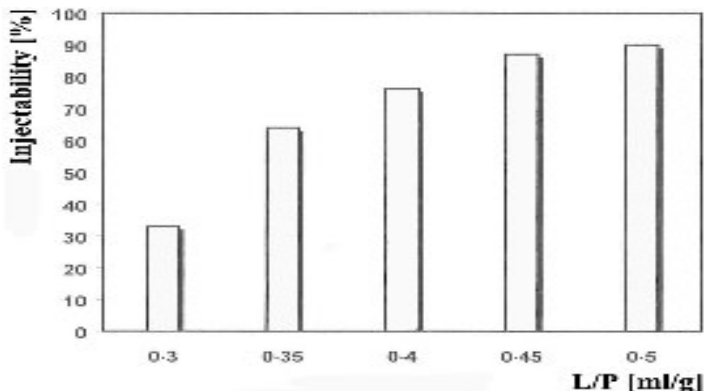
شکل ۱۰- تصویر SEM از سیمان بعد از ۲۱ روز نگهداری در محلول فیزیولوژیک

در بعضی از موارد، سیمان های کلسیم فسفاتی به منظور پر کردن حفره هایی در بدن به کار می روند که جراح به راحتی نمی تواند با دست حفره ها را پر کند و در ضمن استحکام چندان بالایی نیز مورد نیاز نمی باشد. از این رو، استفاده از سرنگ می تواند کمک بسیار بزرگی باشد.

اثر تغییرات L/P بر میزان تزریق پذیری سیمان در شکل ۱۱ نشان داده شده است. نتایج نشان می دهد که افزایش نسبت مایع به پودر در این سیمان باعث تزریق پذیری بهتر می شود، اما باید



توجه شود که افزایش نسبت L/P ، کاهش استحکام را به دنبال خواهد داشت. از این‌رو از روش تزریق برای پرکردن حفراتی استفاده می‌شود که تحت تنفس کمتر بوده و یا تحت تنفس نباشد (مانند استخوان‌های جمجمه).



شکل ۱۱- تغییرات تزریق‌پذیری سیمان در برابر تغییر نسبت L/P

#### ۴- نتیجه‌گیری

- از مجموع بررسی‌ها و آزمایش‌های انجام شده در پژوهش حاضر می‌توان به برخی نکات به عنوان نتیجه‌گیری اشاره کرد:
- افزایش غلظت فاز مایع سیمان، از ۱٪ تا ۸٪، افزایش استحکام فشاری سیمان را از ۱۰/۷۲ تا ۱۴/۷۳ مگاپاسکال در پی دارد.
- با طولانی‌تر شدن مدت زمان ماندگاری سیمان در محلول فیزیولوژیک، از ۲۴ ساعت تا ۲۱ روز، استحکام فشاری متوسط آن از ۵/۵۳ تا ۲۸/۱۰ مگاپاسکال افزایش یافت که با توجه به نتایج به دست آمده از FTIR و XRD و ICP می‌توان این افزایش استحکام را به تشکیل و افزایش میزان بلورهای هیدروکسی آپاتیت نسبت داد.
- نتایج حاصل از ICP و تصاویر SEM، تأییدی بر تشکیل بلورهای هیدروکسی آپاتیت بعد از گذشت ۲۱ روز می‌باشد و چنین انتظار می‌رود که با گذشت زمان بر مقدار هیدروکسی آپاتیت افزوده گردد.
- قابلیت تزریق‌پذیری این سیمان استخوان با افزایش نسبت L/P بین ۳/۵ تا ۵/۳، از ۳۳ درصد به ۹۰ درصد افزایش یافت.
- آنالیز EDAX نمونه بعد از ۲۱ روز، حضور عناصر کلسیم، فسفر، سدیم و کلر را نشان داده بخشی از سدیم و کلر از محلول فیزیولوژیک جذب شده‌است. از آنجا که این یون‌ها در مایعات بدن به وفور یافت می‌شوند، به نظر می‌رسد که مانع برای استفاده از سیمان تهیه شده در کاربردهای پزشکی وجود ندارد.

#### مراجع

- D.F. Williams , ( ed.), Definitions in Biomaterials. Elsevier, Amesterdam, 6-7 (1987).
- O. Bermudez , M.G. Boltong , F.C.M. Driessens , J.A. Planell , " Development of Some Calcium Phosphate Cements from Combinations of  $\alpha$ -TCP , MCPM and CaO, " J. Mater.Sci. Mater. Med , 5, 160-163 (1994).
- E. Lerner, S. Sarig, and R. Azoury, " Enhanced Maturation of Hydroxyapatite from Aqueous Solution Using Microwave Irradiation," J. Mater. Med. 2, 138-141 (1991).
- F.C.M. Driessense, M.G. Boltong, I. Khairoun, E.A.P. De Maeyer, M.P. Ginebra, "Applied Aspects of Calcium Phosphate Bone Cement Application,"

5. J.Friberg, E.Fernandez, S.Sarda, M.Nilsson, M.P.Ginebra, "An Experimental Approach to the Reology Behaviour of Synthetic Bone Calcium Phosphate Cements," Key Engineering Materials, Vols. 192-195, 777-780 (2002).
  6. J.G.C.Wolke, E.M.Ooms, J.A.Jansen, "In Vivo Resorption of a High Strength Injectable Calcium-Phosphate Cement", Key Engineering Materials,Vols.192-195, 793-796 (2002).
  7. M.Khairnn, G. Boltong, and etal, " Some factors Controlling the Injectability of Calcium Phosphate Bone Cements, " J. Mat. Sci. Mater. Med., 3, 425-428 (1998).
  8. M.Khairnn, G. Boltong, and etal, " Limited Compliance of Apatite Calcium Phosphate Bone Cements With Clinical Requirements "J. Mat. Sci. Mater. Med., 9, 667-671 (1998).
۹. مهران صولتی هشجین، تأثیر روش ستز پودر بر ریزساختار و خواص هیدروکسی آپاتیت، پژوهشگاه مواد و انرژی (۱۳۷۶)
10. A. Tofighi, S. Mounic, P. Chakravarthy, C. Rey, D.Lee, " Setting Reactions Involved in Injectable Cements Based on Amorphous Calcium Phosphate," Key Engineering Materials,Vols.192-195, 769-772 (2002).
  11. M. komath , H.K. Varma, and R. Sivakumar, " On the Development of an Apatitic Calcium Phosphate Bone Cement " Bull. Mater. Sci., Vol. 23, [2], 135-140 (2000).
  12. k.D. Groot, " Clinical Application of Calcium Phosphate Biomaterials : A Review, " Ceram. Inter. 19, 363-366 (1993).



## بررسی اثر $\text{CaF}_2$ بر رفتار تبلور و زینتر شدن کاشی های شیشه - سرامیکی سیستم $\text{CaO-Al}_2\text{O}_3-\text{SiO}_2$

سارا بنی جمالی، حمید رضا رضائی، بیژن افتخاری یکتا، واهاک مارقوسیان، حسین قصاعی  
گروه سرامیک، دانشکده مهندسی مواد و متالورژی، دانشگاه علم و صنعت ایران

**چکیده:** در این تحقیق، اثر تغییر میزان فلورین بر رفتار تبلور و زینتر شدن شیشه-سرامیک های سیستم  $\text{CaO-Al}_2\text{O}_3-\text{SiO}_2$  مورد بررسی قرار گرفت. در این راستا روش های آنالیز حرارتی DTA، پراش پرتو ایکس (XRD) میکروسکوپ الکترونی روبشی (SEM) و ریز سختی سنج و یکریز مورد استفاده قرار گرفت. نتایج حاصله نشان داد که به دلیل سختی و مقاومت شیمیایی قابل قبول می توان از شیشه-سرامیک های تهیه شده در سیستم مذکور به عنوان کاشی کف استفاده نمود. رنگ سفید پس از پخت گویای قابلیت تزئین زیاد این نوع قطعات با استفاده از روش های مرسوم چاپ می باشد.

### ۱- مقدمه

شیشه-سرامیک های سیستم  $\text{CaO-Al}_2\text{O}_3-\text{SiO}_2$  را هم می توان با استفاده از روش بالک (شکل دهی مستقیم مذاب شیشه) و هم با استفاده از طریق زینترکردن پودر شیشه تهیه نمود<sup>[۱]</sup>. به دلیل داشتن خواص شاخص، استفاده از شیشه-سرامیکهای بالک و زینترشده در صنعت کاشی رواج پیدا کرده است. امروزه تهیه شیشه-سرامیکهای مبتنی بر سیستم سه تایی  $\text{CaO-Al}_2\text{O}_3-\text{SiO}_2$  از طریق روش بالک، تحت نام شیشه-سرامیک سرباره ای (با استفاده از عملیات حرارتی دو مرحله ای) و شیشه-سرامیکهای زینتری متعلق به همین سیستم تحت نام گارنت مصنوعی در روسیه متدائل است<sup>[۲]</sup>. همچنین کاشی های زینتر شده شیشه-سرامیکی با نام تجاری نئوپارس (تولید شده توسط ژاپن) از جمله محصولات موفق شیشه-سرامیکی در صنعت کاشی محسوب می شوند که از خواص بارز آنها می توان به مواردی نظیر میزان جذب آب برابر با صفر، مقاومت زیاد در برابر بخ زدگی، سختی زیادتر، وزن کمتر (به میزان ۳۰٪) نسبت به سنگهای طبیعی و قابلیت شکل گیری به صورت صفحات انحنای اشاره کرد. فاز بلورین در این نوع کاشی ها، فاز سوزنی شکل ۸- ولاستونیت می باشد که به علت داشتن خریب شکست متفاوت با فاز شیشه زمینه، ظاهری مرمرین به محصول می بخشند<sup>[۳] و [۴]</sup>. از دیگر مزایای کاشی های شیشه-سرامیکی تهیه شده از این سیستم، امکان دستیابی به محصولاتی با رنگهای متنوع و پایدار می باشد. در این حالت، عوامل رنگزا درون فاز بلورین حبس شده و منجر به پایداری رنگ محصول با گذشت زمان می شود<sup>[۵]</sup>.

گفته شده است در تهیه کاشی های شیشه-سرامیکی با استفاده از روش زینترینگ، رسیدن به محصولاتی با استحکام زیاد و متراکم مستلزم انجام زینتر قبل از تبلور است. در واقع می باید قبل از انجام تبلور، متراکم شدن صورت بگیرد تا در نهایت محصولی بلورین و فاقد تخلخل به دست آید. پژوهشگران معتقدند که شیشه هایی که به صورت حجمی متبلور می شوند، جهت استفاده به عنوان شیشه-سرامیکهای زینتری (و از جمله شیشه-سرامیکهای ساختمانی) مناسب نیستند زیرا به هنگام پخت به دلیل تشکیل سریع فازهای بلورین، متراکم شدن متوقف می شود. بنابراین شیشه هایی که دارای تبلور سطحی و ناهمگن هستند به دلیل سرعت تبلور پایین تر، برای استفاده در روش زینترینگ مناسب تر می باشند. دو فاکتور کنترل کننده فرایند متراکم شدن، گرانروی شیشه (فاکتور کینتیکی) و سرعت تبلور می باشند. با تغییر سرعت حرارت دهی و همچنین کنترل دمای زینتر می توان این دو فاکتور را به طور موثری به کار گرفت<sup>[۶] و [۷]</sup>. ادعا می شود در سیستم



مذکور تبلور حجمی به سختی و جدایش فازی فرآپایدار به صورتی محدود اتفاق می‌افتد. در صورت زیاد بودن مقدار  $\text{SiO}_2$  در این سیستم، تبلور سطحی صورت می‌گیرد که با افزودن جوانه زای مناسب می‌توان آن را به حجمی تبدیل نمود[۱۰ و ۱۱]. ترکیباتی نظیر اکسید کروم، اکسید تیتانیم، اکسید زیرکونیم و ... از جمله جوانه راهایی هستند که قابلیت ایجاد تبلور حجمی را در این سیستم دارند. گفته شده است اکسید کروم به دلیل قدرت میدان یونی زیاد، منجر به جدایش فازی و سهولت در تبلور می‌شود به طوری که برای ترکیبات غنی از آنورتیت که در مرز بین دو ناحیه ولاستونیت و آنورتیت در دیاگرام سه تایی این سیستم قرار دارند، عملکرد بهتری را نسبت به  $\text{CaF}_2$  و  $\text{TiO}_2$  از خود نشان می‌دهد[۱۲ و ۸]. اکسید تیتانیم از دیگر جوانه راهای موثر در این سیستم به شمار می‌رود. اکسید مذکور می‌تواند در ساختار شیشه هم به عنوان شبکه ساز و هم به عنوان دگرگونساز عمل کند. پژوهشگران معتقدند که در دماهای پایین کاتیون  $\text{Ti}^{+4}$  عمدتاً دارای عدد همسایگی ۴ و در دماهای بالا دارای عدد همسایگی ۶ می‌باشد. در واقع با افزایش دما، این کاتیون وارد حفرات هشت وجهی شده و با تضعیف ساختار شیشه منجر به کاهش گرانزوی و بهبود تبلور می‌شود. همچنین به دلیل قدرت زیاد میدان یونی،  $\text{TiO}_2$  می‌تواند منجر به ایجاد جدایش فازی و تشکیل فازهای بلورین اولیه تیتاناتی شود. دیده شده است که افزودن  $\text{TiO}_2$  منجر به تشکیل یک فاز غنی از  $\text{Ti}^{+4}$  و یک فاز غنی از  $\text{Ca}^{+2}$  می‌شود که در طول فرایند جدایش فازی، این فازهای جدایش یافته با هم اتصال برقرار کرده و فاز بلورین سفن ( $\text{CaO} \cdot \text{TiO}_2 \cdot \text{SiO}_2$ ) را تشکیل می‌دهند. این فاز اولیه، روند جدایش فازی را تسريع کرده و شرایط مناسب را برای تبلور فراهم می‌کند[۱۳ و ۱۴].

از سوی دیگر ادعا شده است که فلورین از طریق کاهش گرانزوی شیشه منجر به افزایش مویلیته یونهای کمپلکس و تشکیل فازهای بلورین می‌شود[۶]. همچنین در برخی از سیستم‌های سیلیکاتی، فلورین موجب جدایش فازی و تشکیل فازهای بلورین فرا پایدار اولیه ای مثل کاسپیدین ( $\text{CaF}_2 \cdot 3\text{CaO} \cdot 2\text{SiO}_2$ ) می‌شود که تشکیل فازهای بلورین نهایی را آسان می‌کند[۸ و ۶].

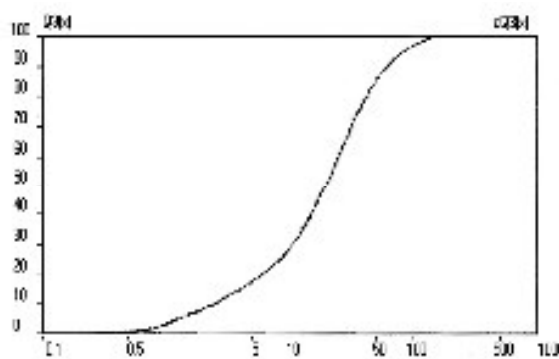
انتخاب سیستم سه تایی  $\text{CaO} \cdot \text{Al}_2\text{O}_3 \cdot \text{SiO}_2$  در پژوهش حاضر، به دلیل قابلیت ارایه قطعات کاملاً سفید) که توانایی رنگ آمیزی و تزئین بیشتر را فراهم می‌سازد) و همچنین خواص شاخص مکانیکی نظیر استحکام، سختی و مقاومت سایشی زیاد و مواد اولیه ارزان قیمت می‌باشد. با توجه به مطالب ذکر شده تصمیم گرفته شد که با انتخاب یک ترکیب شیشه معرفی شده در مراجع [۱]، حذف جوانه زای موجود و جایگزینی تدریجی نقش این ماده بر نحوه زینتر شدن، تبلور و خواص فیزیکی و شیمیایی قطعه مورد بررسی قرار گیرد.

## ۲- فعالیت‌های تجربی

مواد اولیه مصرفی در این پژوهش، مواد اولیه صنعتی با دانه بندی کوچکتر از ۱ mm و خلوص بالاتر از ۹۸ درصد و شامل آلومینای فیبرونا، سیلیس ستبران، کربنات کلسیم ازنا و بلورین چینی بودند. هر یک از آمیزهای پس از اختلاط، به مدت ۱ ساعت در درون بوته زیرکنی و در دمای ۴۵۰°C در کوره الکتریکی ذوب و مذاب حاصل در آب سرد شد. سپس فریت به دست آمده به مدت ۲۵ دقیقه توسط آسیاب ماهواره ای آسیاب شد. شکل (۱) توزیع اندازه ذرات یکی از فریت‌های مصرفی را پس از این مرحله نشان می‌دهد. توزیع اندازه ذرات پودرتوسط دستگاه Laser Particle Size Analyzer (Fritsch analysette22) مورد بررسی قرار گرفت. پس از حذف  $\text{TiO}_2$  ابتدا به میزان ۶،۹ و ۱۲ درصد وزنی  $\text{CaF}_2$  به ترکیب مبنا افزوده شد (جدول ۱). لازم به توضیح است که جوانه زای استفاده شده در شیشه مبنا،  $\text{TiO}_2$  بوده است که حذف آن در این پژوهش به دلیل اثر منفی این اکسید بر رفتار زینترینگ صورت گرفت.

به منظور بررسی چگونگی زینترشدن ترکیبات مذکور، فریت‌های حاصل به همراه ۰/۲٪ کربوکسی متیل سلولز (بر مبنای وزن خشک فریت) جهت تامین چسبندگی، توسط پرس هیدرولیک تک محوره با فشار اولیه

۱۰ MPa و فشار ثانویه ۳۰ شکل داده شد. زینتر کردن نمونه ها در محدوده دمایی  $850-1050^{\circ}\text{C}$  با فواصل دمایی  $50^{\circ}\text{C}$ ، در کوره الکتریکی با سرعت گرمایش ( $^{\circ}\text{C}/\text{min}$ ) ۷ و یک ساعت ماندگاری در دمای بیشینه صورت گرفت. به منظور بررسی رفتار تبلور نمونه ها بر حسب دما، از شیشه هایی با اندازه ذرات کوچکتر از  $75 \mu\text{m}$  و دستگاه آنالیز حرارتی (Netzsch 404) به همراه پودر مرجع آلمینا استفاده شد. انسفر انتخاب شده، هوا و سرعت گرمایش  $100\text{C}/\text{min}$  بود. برای شناسایی و بررسی فازهای بلورین تشکیل شده در دماهای مختلف از دستگاه های پراشگر پرتو ایکس (Jeol JDX, 8030 و Siemens D-500) استفاده شد.



شکل ۱- توزیع اندازه ذرات فریت SF9

جدول ۱- آنالیز اکسیدی شیشه مینا و شیشه های تهیه شده حاوی  $\text{CaF}_2$  (بر حسب درصد وزنی)

	$\text{CaF}_2$	$\text{CaO}$	$\text{Al}_2\text{O}_3$	$\text{SiO}_2$	کد نمونه
۰	۲۳/۵۴	۴۲/۸۴	۳۳/۶۳		S
۶	۲۳/۵۴	۴۲/۸۴	۳۳/۶۳		SF6
۹	۲۳/۵۴	۴۲/۸۴	۳۳/۶۳		SF9
۱۲	۲۳/۵۴	۴۲/۸۴	۳۳/۶۳		SF12

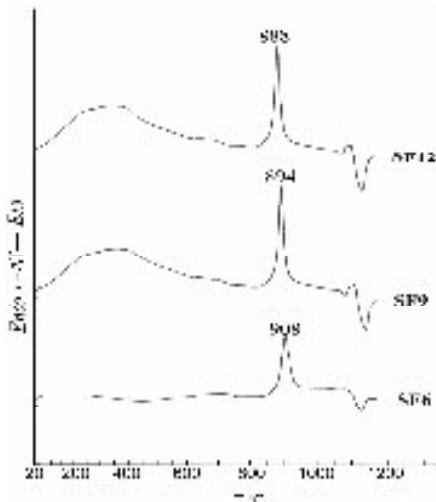
به منظور بررسی انقباض خطی پخت از کولیس با دقت ( $0.02\text{ mm}$ ) و برای اندازه گیری جذب آب از استاندارد EN99 استفاده شد. سختی نمونه ها توسط دستگاه ریزسختی سنج ویکر (Buehler, Micromete1) تحت بار  $100$  گرم و زمان  $30$  ثانیه اندازه گیری شد. اندازه گیری مقاومت شیمیایی مطابق با استاندارد EN106، (مریبوط به کاشی بدون لعب) صورت گرفت. ویژگی های ریزساختاری نمونه ها پس از سمباده زنی، پولیش و اج شیمیایی توسط محلول  $1\%$  اسید فلوریدیریک به مدت  $10$  ثانیه توسط میکروسکوپ الکترونی روبشی (Cambridge S360) بررسی شد.

### ۳- نتایج و بحث

نتایج حاصله نشان داد که اولاً افزودن  $6$  درصد وزنی فلورین به شیشه مینا موجب کاهش شدید دمای ذوب شیشه گردید و تهیه شیشه ای هموژن را امکان پذیر ساخت. ثانیاً در مرحله ذوب ترکیبات مختلف مشاهده گردید که ترکیب S از نقطه ذوب بسیار بالایی برخوردار است و در دمای انتخاب شده ( $1450^{\circ}\text{C}$ ) به راحتی ذوب و هموژن نمی شود. بنابراین انجام آزمایش های بعدی روی این ترکیب صورت نپذیرفت. شکل (۲) الگوهای حاصل از آنالیز DTA شیشه های حاوی مقادیر مختلف فلورین را نشان می دهد. نتایج به دست آمده نشان داد که اولاً با افزایش مقدار  $\text{CaF}_2$ ، دمای تبلور کاهش و شدت پیک تبلور افزایش یافت. همچنین مشاهده می شود که با افزایش مقدار فلورین، دمای انتقال به شیشه (Tg) و دمای نرم شوندگی دیلاتومتری

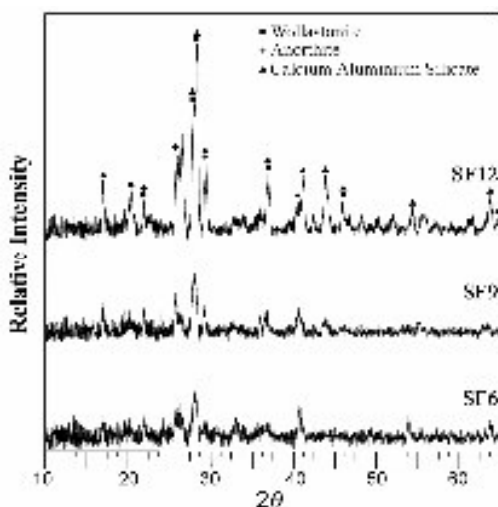


(Tg) کاهش می یابند. از آنجایی که تمام شیشه ها در دمای Tg دارای گرانزوی تقریباً یکسانی می باشند، می توان گفت که افزایش مقدار فلورین باعث کاهش گرانزوی شیشه ها گردیده است.



شکل ۲- الگوهای DTA نمونه های SF12 و SF6

شکل ۳ نیز الگوهای پراش پرتو ایکس نمونه های مذکور را پس از ۱ ساعت عملیات حرارتی در دمای پیک تبلور نشان می دهد.



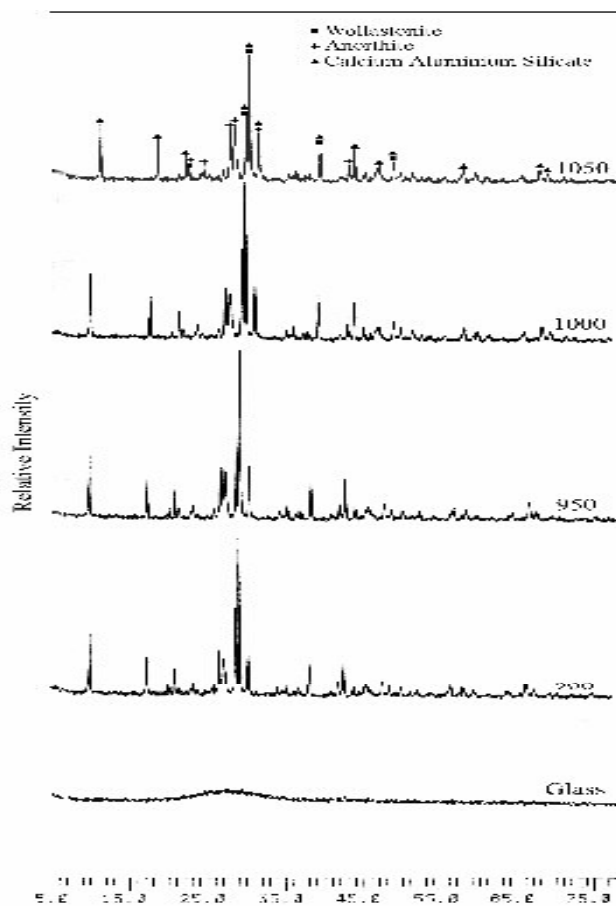
شکل ۳- الگوهای XRD نمونه های زیتر شده در دمای پیک تبلور

همانطور که مشاهده می شود در هر سه نمونه، فازهای بلورین اصلی ولاستونیت ( $\text{CaO} \cdot \text{SiO}_2$ )، آنورتیت ( $\text{CaO} \cdot \text{Al}_2\text{O}_3 \cdot 2\text{SiO}_2$ ) و کلسیم آلومینیوم سیلیکات ( $\text{Ca}_{5.35}\text{Al}_{10.7}\text{Si}_{5.35}\text{O}_{32}$ ) می باشند. شکل ۳ نیز افزایش میزان تبلور فازهای مذکور با افزایش مقدار  $\text{CaF}_2$  را به خوبی نشان می دهد. اما این شکل همچنین بیانگر آن است که ببود تبلور در پی افزایش میزان  $\text{CaF}_2$  به شیشه، ناشی از مکانیزم های شناخته شده جوانه زنی هتروژن و ایفای نقش جوانه زا توسط  $\text{CaF}_2$  نبوده و این امر همانطور که قبلاً نیز بیان شد عمدتاً ناشی از کاهش گرانزوی شیشه و تسهیل نفوذ اجزای یونی می باشد.

نحوه تغییرات فازی در طی گرمایش و عملیات پخت تا دمای بیشینه نیز مورد بررسی قرار گرفت. بر اساس بررسی های انجام گرفته چگونگی تغییرات فازی در هنگام پخت برای هر سه ترکیب  $\text{CaF}_2$  درصد



یکسان بود و به نظر می‌رسد که میزان  $\text{CaF}_2$  اضافه شده تاثیری بر نوع فازهایی که در مراحل مختلف متبلور می‌شوند ندارد اما موجب افزایش اندازه میزان آنها می‌گردد. شکل ۴ الگوهای پراش پرتو ایکس نمونه SF9 را پس از پخت در دماهای مختلف نشان می‌دهد.

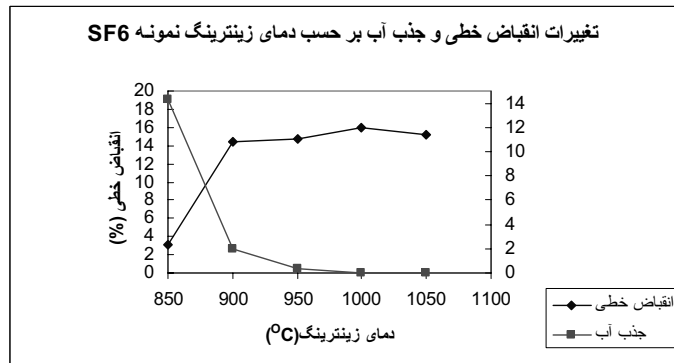


شکل ۴- الگوهای پراش پرتو ایکس نمونه SF9 در دماهای مختلف پخت

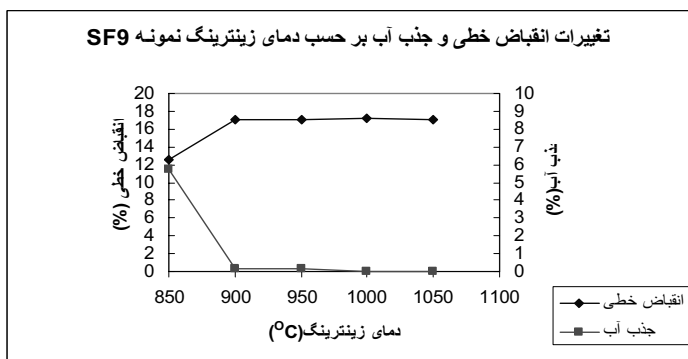
همانطور که مشاهده می‌گردد در مراحل اولیه پخت، ولاستونیت فاز غالب می‌باشد و فازهای آنورتیت و کلسیم آلومینیوم سیلیکات فازهای فرعی محسوب می‌گردد، اما با افزایش دما تا  $1050^{\circ}\text{C}$  از شدت ولاستونیت و کلسیم آلومینیوم سیلیکات کاسته شده و آنورتیت به عنوان فاز غالب خود نمایی می‌کند. با توجه به شکل (۲) و وجود پیک‌های گرم‌گیر تیزی که در محدوده دمایی  $1100^{\circ}\text{C}$  وجود دارد و معرف دمای لیکوئیدوس شیشه‌ها می‌باشد و با مقایسه شدت نسبی الگوهای ولاستونیت و آنورتیت به نظر می‌رسد که پدیده مذکور عمدها ناشی از حلالیت بیشتر ولاستونیت نسبت به آنورتیت در شیشه زمینه با افزایش دما باشد. نقطه ذوب بیشتر آنورتیت نسبت به ولاستونیت می‌تواند تاییدی بر این مدعای باشد.

اشکال ۵ و ۶، نحوه تغییرات انقباض خطی و درصد جذب آب نمونه‌های SF9, SF6 و SF12 را بر حسب دمای پخت نشان می‌دهد. همانطور که مشاهده می‌شود نمونه SF6 در مراحل ابتدایی زیستر دارای بیشترین جذب آب و کمترین انقباض خطی می‌باشد و ترکیب SF12 از این نظر بر دو ترکیب دیگر برقی دارد. همچنین در هر سه نمونه بیشترین میزان انقباض در دمای  $1000^{\circ}\text{C}$  صورت می‌گیرد و در دمای  $1050^{\circ}\text{C}$  از میزان انقباض کاسته می‌شود. این رفتار را می‌توان به حلالیت فاز چگالترا ولاستونیت ( $2.8\text{-}2.99 \text{ g/cm}^3$ ) و

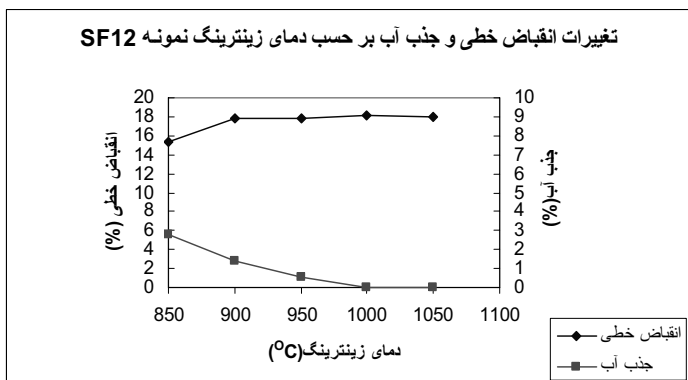
تبدیل آن به شیشه‌ای با چگالی کمتر مربوط داشت. از سوی دیگر گفته شده است هنگامی که دمای تبلور کاهش یابد، سرعت متراکم شدن نیز کاهش یافته و یا متوقف خواهد گردید[۱۵]. اما دیده می‌شود که ترکیب SF12 علیرغم آنکه از دمای تبلور کمتری نسبت به دو ترکیب دیگر برخوردار است اما قابلیت زینتر شدن بیشتری را از خود نشان می‌دهد. به نظر می‌رسد که در مورد اخیر، افزایش  $\text{CaF}_2$  تاثیر مثبت دوگانه‌ای هم بر سرعت متراکم شدن و هم تبلور داشته است. این موضوع شاید ناشی از حلایت  $\text{CaF}_2$  در فاز شیشه به جا مانده باشد.



شکل ۵- تغییرات جذب آب و انقباض خطی پخت نمونه SF6

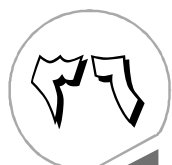


شکل ۶- تغییرات جذب آب و انقباض خطی پخت نمونه SF9



شکل ۷- تغییرات جذب آب و انقباض خطی پخت نمونه SF12

مقاومت شیمیایی و مقاومت سایشی مناسب از ویژگی‌های ضروری برای کاشی‌های کف محسوب می‌گردد. با توجه به این موضوع، ویژگی‌های مذکور برای سه ترکیب SF6، SF9 و SF12 اندازه گیری گردید.



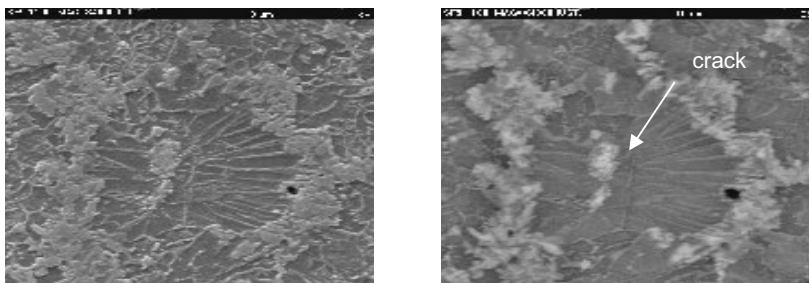
نتایج میکروسختی ویکرز و مقاومت شیمیایی نمونه های پخته شده (در دمای  $1000^{\circ}\text{C}$ ) در جدول ۲ آمده است. مقاومت شیمیایی نمونه ها بر حسب درصد کاهش وزن مشخص شده است.

جدول ۲- سختی ویکرز و مقاومت شیمیایی نمونه ها

SF12	SF9	SF6	کد نمونه
۵۹۵	۵۶۴/۴۳	۵۴۰/۶	سختی ویکرز (VHN)
۲/۳	۲/۲	۲/۱	کاهش وزن (%)

دیده می شود که با افزایش مقدار فلورین، سختی نمونه ها اندکی افزایش می یابد. این امر همانطور که قبلا نیز مشاهده شد ناشی از بهبود فرایند تبلور در اثر افزایش میزان فلورین در شیشه می باشد. همچنین با افزایش مقدار فلورین، مقاومت شیمیایی نمونه ها اندکی کاهش می یابد. همانطور که قبلا نیز مذکور شدیم در هر سه نمونه SF12 و SF9 و SF6 فلورین در ساختار فازهای بلورین شرکت نمی کند و در فاز شیشه زمینه باقی می ماند. بنابراین نمونه SF12 با داشتن بیشترین مقدار  $\text{CaF}_2$  و همچنین تضعیف اتصالات موجود در شبکه شیشه به جا مانده توسط آن [۱۶]، دارای پایین ترین مقاومت شیمیایی است. همچنین با افزایش سرعت جوانه زنی در اثر افزایش فلورین، مرز بین فازهای بلورین و فاز شیشه افزایش می یابد که این مورد نیز منجر به کاهش مقاومت شیمیایی می شود [۱۷].

شکل ۸، بخشی از ریزساختار شیشه-سرامیک SF9، پس از پخت در دمای  $1050^{\circ}\text{C}$  که در دو مود مختلف (الف) الکترونهاي ثانويه و (ب) الکترونهاي بازگشتي تهيه شده است را نشان می دهد. در اين تصویر ذره اي مشاهده می شود که در اثر تنش هاي مکانيكي ناشي از آسياب، پرس و همچنین تنش هاي حرارتى ناشي از سيكل پخت حاوي ريزترک هاي شعاعي بسياري است.



شکل ۸- ریزساختار نمونه SF9

(ب) تصویر گرفته شده توسط الکترونهاي ثانويه

(الف) تصویر گرفته شده توسط الکترونهاي بازگشتي

بر اساس شکل مذکور، تبلور از سطوح آزاد هر ذره آغاز گردیده، به عمق ذره گسترش یافته و سطوح ترک خورده مراکز ترجيحی برای جوانه زنی فازهای بلورین بوده اند. همچنین بر اساس این تصاویر به نظر می رسد که فاز بلوری هاله ای شکل (احتمالاً آنورتیت) دقیقاً بر روی سطوح فاز بلوری دیگر (احتمالاً ولاستونیت) متبلور گردیده است.

#### ۴- نتیجه گیری

بررسی های انجام شده در این پژوهش نشان داد که افزایش تدریجي فلورین موجب کاهش دمای تبلور، افزایش سرعت آن و همچنین بهبود قابلیت زینتر شدن از طریق کاهش گرانزوی و تسهیل نفوذ اجزای یونی می شود. بررسی های میکروسکوپی نیز نشان داد که مکانیزم تبلور در ترکیبات مورد بررسی سطحی می باشد.



میزان فلورین افزوده شده تاثیری بر نوع فازهای متبولر شده (ولاستونیت، آنورتیت و کلسیم الومینیم سیلیکات) نداشت اما موجب افزایش میزان آنها گردید. همچنین با افزایش دمای زینتر از  $1000^{\circ}\text{C}$  تا  $1050^{\circ}\text{C}$  حلالیت مجدد ولاستونیت در زمینه شیشه مشاهده گردید. بهبود فرایند تبلور ناشی از افزایش مقدار فلورین، افزایش سختی و کاهش مقاومت شیمیایی را در پی داشت. کاهش مقاومت شیمیایی را می‌توان با عدم شرکت فلورین در ساختار فازهای بلورین و حضور آن در فاز شیشه زمینه مرتبط دانست.

## مراجع

1. Strnad , "Glass-Ceramic Materials",Glass Science & Technology, Elsevier,New York,(1986).
2. E.Yu Guseva & M.N.Gulyukin,"Deformation Resistance of Glass-Ceramic Mterials",Glass and Ceramic,58[1-2]:17-20(2001).
3. W.Holand & G.Beall , "Glass-Ceramic Technology",American Ceramic Society,(2003).
4. "Neoparies, Crystallized Glass Neoparies,Building Materials for Interior and Exterior Walls", Nippon Electric Glass Co.Ltd.9(1995).
5. E.Fortanet,A.Pascual,J.Bakali & S.Leon , "Development of New Glass-Ceramic Glazes with Self-Colouring Properties", Cer.Acta,14:52-64(2002).
6. K.Sujirote ,R.D.Rawlings & P.S.Rogers,"Effect of Fluoride on Sinterability of a Silicate Glass Powder", J.Europ.Ceram.Soc.,18:1325-1330(1998).
7. C.Lira,A.P.Novaes de Oliveira & O.E.Alarcon,"Sintering and Crystallization of CaO-Al<sub>2</sub>O<sub>3</sub>-SiO<sub>2</sub> Glass Powder Compacts",Glass Technol ,42:91-96(2001).
8. S.N.Salama,S.M.Salman & H.Darwisch,"The Effect of Nucleation Catalyst on Crystallization Characteristics of Aluminosilicate Glasses",Ceramic Silikaty ,46[1]:15-23(2002).
9. -واهک مارقوسیان، "شیشه : ساختار، خواص و کاربرد" ، دانشگاه علم و صنعت ایران(۱۳۸۱).
10. P.W.McMillan , "Glass-Ceramics",Academic Press,London,(1979),P.16-20.
11. R.G.Duan & K.M.Liang,"A Study on the Crystallization of CaO-Al<sub>2</sub>O<sub>3</sub>-SiO<sub>2</sub> System Glasses", Journal of Materials Processing Technology,75:235-239(1998).
12. J.A.Topping,"Glass-Ceramics from the System CaO-Al<sub>2</sub>O<sub>3</sub>-SiO<sub>2</sub>", Am.Ceram.Soc.Bull,56[6]:574-577(1977).
13. R.G.Duan,K.M.Liang & S.R.Gu,"Effect of Changing TiO<sub>2</sub> Content on Structure and Crystallization of CaO-Al<sub>2</sub>O<sub>3</sub>-SiO<sub>2</sub> System Glasses",J.Europ.Ceram.Soc,18:1729-1735(1998).
14. L.He,S.Tang & H.Du,"Effect of the TiO<sub>2</sub> -Fraction on the Glass-Ceramic Crystallization in the System CaO-Al<sub>2</sub>O<sub>3</sub>-SiO<sub>2</sub>" , Interceram ,47[6]:387-388(1998).
15. E.M.Rabinovich , "Review: Preparation of Glass by Sintering " , J.Mater.Sci,20:4259-4297(1985).
16. P.W.McMillan , "Glass-Ceramics",Academic Press,London,(1979).
17. B.Eftekhari Yekta,B.Tabatabaei & S.Hashemi Nia , "Preparation of Acid-Resistance Glass and Glass-Ceramics Using Copper Slag ",Industrial Ceramics,24[2]:115-121(2004).

آقایان مهندس حسین قصاعی و مهندس عباسعلی قصاعی

محبیت واردہ را خدمتستان تسلیت عرض نموده و برای آن مرحوم امرزش و  
علو درجات و برای شما و بازماندگان صبر و سلامتی آرزومندیم.

انجمن سرامیک ایران



# ساخت شیشه سرامیک تراشکاری شونده میکای فلوئور

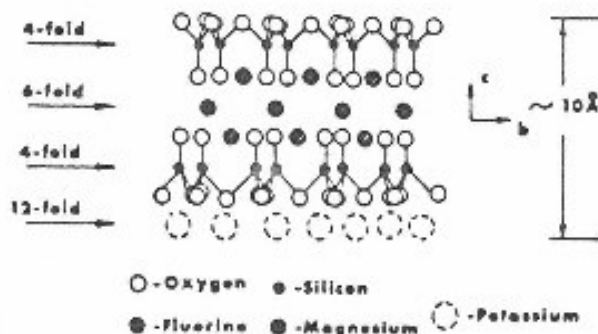
صدیقه خطیبزاده<sup>۱</sup>، بیژن افتخاری یکتا<sup>۲</sup>، ماندانا شیخانی<sup>۳</sup>، سید بهزاد طباطبائی<sup>۳</sup>

<sup>۱</sup> پژوهشکده صنایع رنگ، <sup>۲</sup> دانشکده مواد دانشگاه علم و صنعت ایران، <sup>۳</sup> پژوهشگاه مواد و انرژی

**چکیده:** در این پژوهش با انتخاب یک فرمول مبنای و تعییر درصد وزنی اجزای اصلی که در فاز بلوری میکای فلوئور شرکت دارند ( $F^-$ ,  $B^{+3}$ ,  $K^+$ ) ترکیب شیشه - سرامیک مناسب از نظر قابلیت تراشکاری و استحکام حاصل شد. در این مسیر برای تعیین ویژگی های فیزیکی قطعات شیشه - سرامیک از روش های آنالیز SEM, XRD, DTA و PSA و اندازه گیری استحکام خمشی و ریزسختی استفاده گردید. نتایج حاصل از این تحقیق نشان می دهد که با افزایش میزان  $K^+$  و  $F^-$  ریزسختی استفاده گردید. سرامیک بهبود می یابد. میانگین استحکام خمشی و ریزسختی ترکیب بهینه به ترتیب برابر ۴۴MPa و ۲/۵Gpa بود.

## ۱- مقدمه

ساختمان ترکیبات مختلف میکای فلوئور شبیه به میکاهای طبیعی می باشد با این تفاوت که در این ساختمان یون های فلوئور جایگزین یون های هیدرو اکسیل شده اند. پانویلینگ فرمول عمومی  $KX_nY_4O_{10}(OH, F)_2$  را برای ترکیبات مختلف میکا پیشنهاد کرده است [۱]. در این فرمول  $n \leq 3$  ،  $X$  نمایانگر کاتیون هایی با عدد کوردیناسیون ۶ و ۷ نمایانگر کاتیون هایی با عدد کوردیناسیون ۴ (به ویژه  $Si^{4+}$  و  $Al^{3+}$ ) می باشد. با در نظر گرفتن این فرمول، برای ترکیبات میکای فلوئور فرمول عمومی  $ZX_nY_4O_{10}F_2$  که در آن  $Z$  نشانگر کاتیون هایی با عدد کوردیناسیون ۱۲ (معمولاً K و در برخی از موارد Na Ca, Ba) می باشد، حاصل می گردد. شکل (۱) ساختمان میکای فلوئور تتراسیلیسیک ( $K_2Mg_5Si_8O_{20}F_4$ ) را نشان می دهد.



شکل ۱- ساختمان میکای فلوئور تتراسیلیسیک

این ساختمان از دو لایه چهار وجهی  $SiO_4$  و یک لایه میانی هشت وجهی که عناصر سازنده آن دو یون F و چهار یون O می باشد و کاتیون های منیزیم در آن قرار دارد تشکیل شده است. در حقیقت دو لایه چهار وجهی بوسیله یون های منیزیم موجود در هشت وجهی محکم به یکدیگر متصل می شوند. یون های K موجود در کوردیناسیون ۱۲ تایی نیز دو ورقه مجاور را به یکدیگر متصل می کنند. مشخصه کلیوثر صفحه ای کانی های میکا بین این ورقه ها قرار دارد.

میکایی که در مواضع چهار وجهی آن فقط Si موجود باشد تتراسیلیسیک، میکایی که علاوه بر Si دارای Al نیز باشد و نسبت Al/Si در آن برابر ۳ باشد تری سیلیسیک و میکایی که در مواضع چهار وجهی آن تعداد یکسانی از Si و Al قرار گرفته باشد میکای دی سیلیسیک نامیده می شوند. لازم به ذکر است که در مواضع

هشت وجهی نیز علاوه بر  $Mg^{2+}$  کاتیون‌های دیگری همچون  $Mn^{3+}, Al^{3+}, Ti^{4+}, Li^+$  می‌توانند قرار گیرند. شناخت و سنتز شیشه - سرامیکهای ماشینکاری شونده بر پایه میکای فلور به اوایل سال ۱۹۷۰ باز می‌گردد [۲]. ویژگی منحصر به فرد این شیشه - سرامیک‌ها آن است که می‌توان این قطعات را بوسیله ابزار آلاتی که برای ماشینکاری فلزات بکار می‌رود براحتی تراشکاری نمود. این قابلیت از توانایی کلیواژ ساختمان بلوری میکای فلور و ریز ساختاری که در آن ردیفی از بلورهای ورقه‌ای و درهم قفل شده میکا در یک زمینه ترد شیشه‌ای پراکنده می‌باشد نشأت می‌گیرد. وجود چنین ریزساختاری موجب می‌شود که به هنگام تراشکاری، ترک‌های ناشی از تراشند پس از پیشروی در صفحات کلیواژ بلورهای میکا به بلورهای دیگری که صفحات کلیواژ آنها عمود بر جهت پیشروی ترک قرار دارند بروخود کرده، با تغییر مسیر در فصل مشترک بلور - شیشه به پیشروی خود ادامه دهن. چنین حالتی موجب می‌شود که قطعه را بدون آنکه تخریب شود بتوان تراشکاری نمود [۳]. میزان صافی سطح قطعه پس از عملیات تراشکاری تابعی از درصد حجمی ذرات بلوری میکای فلور، نسبت طول به ضخامت بلورهای میکا به بلورهای دیگری می‌باشد [۴و۵].

شیشه - سرامیک‌های بر پایه میکای فلور از ضریب دیالکتریک بسیار بالایی [۵] برخوردار می‌باشند و به خاطر وجود ریزساختار یکنواخت و در هم قفل شده بلورهای میکای فلور، در برابر شوک حرارتی مقاوم هستند. این ویژگی‌ها همراه با قابلیت ماشینکاری و خواص مکانیکی مناسب آنها موجب شده است که این ماده کاربردهایی همچون انواع چرخ دنده، مقره‌های الکتریکی و لوله‌های  $KV/mm^2$  ،  $40$  ، نگهدارنده نمونه در میکروسکوپ‌های میدان یونی، بویین‌های سیسموگراف، قاب تلسکوپ اشعه گاما، نگهدارنده‌های مرزی در شاتل فضایی، میکروویو و پایه در قطعات الکترونیک را به خود اختصاص دهد [۵و۶]. هدف از این مقاله تعیین درصد وزنی مناسب اجزاء تشکیل دهنده شیشه اولیه به منظور سنتز شیشه - سرامیک میکای فلور با خواص مکانیکی و قابلیت ماشینکاری مناسب می‌باشد.

## ۲- روش کار

جدول ۱ درصد وزنی آمیزه‌های انتخاب شده در این پژوهش را نشان می‌دهد. برای تامین اکسیدهای مذکور در هر آمیز به ترتیب از سیلیس ده حاجی اسیدشویی شده ( با خلوص بیش از ۹۹ درصد) ، پودر آلمینیات ژپنی ( با خلوص ۹۸ درصد)، کربنات منیزیم ( با خلوص ۹۸ درصد) ، فلورید منیزیم ( ۹۸ درصد)، کربنات پتاسیم ( ۹۸ درصد) و اسیدبوریک صنعتی ترکیه ( ۹۸ درصد) استفاده شد.

جدول ۱- درصد وزنی آمیزه‌ای مختلف

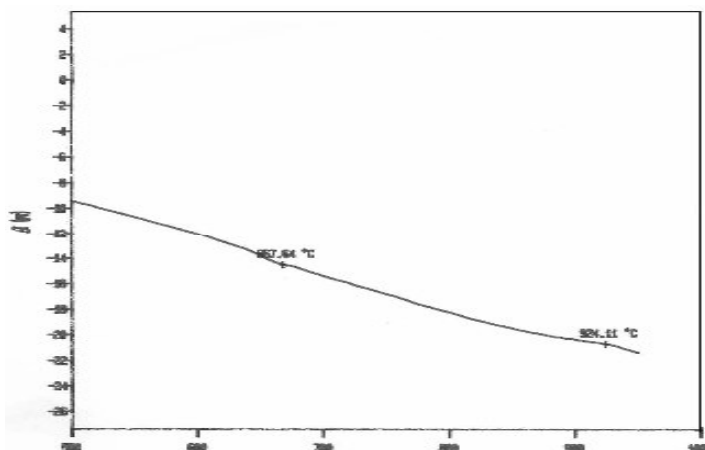
GC.۷	GC.۶	GC.۵	GC.۴	GC.۳	GC.۲	GC.۱	آنالیز شیمیایی (wt%)
۳/۹۱	۴/۰۸	۸	۶	۴/۱۷	۴/۰۹	۴	$K_2O$
۹	۵	۶/۶۸	۶/۸۴	۷/۳۱	۷/۱۶	۷	$B_2O_3$
۴۱/۰۹	۴۲/۹۰	۴۰/۱۳	۴۱/۰۶	۴۳/۸۷	۴۲/۹۳	۴۲	$SiO_2$
۱۹/۵۶	۲۰/۴۳	۱۹/۱۱	۱۹/۵۵	۲۰/۸۹	۲۰/۴۴	۲۰	$MgO$
۱۶/۶۳	۱۷/۳۶	۱۶/۲۴	۱۶/۶۲	۱۷/۷۶	۱۷/۳۸	۱۷	$Al_2O_3$
۹/۷۸	۱۰/۲۱	۹/۵۵	۹/۷۷	۶	۸	۱۰	F

هر آمیز پس از مخلوط شدن، در کوره الکتریکی و در دمای  $۱۴۰۰^{\circ}C$  به مدت ۱ ساعت درون بوته زیرکنی ذوب شد. مذاب حاصله پس از آنکه درون قالب فولادی شکل داده شد در دمای  $۶۰۰^{\circ}C$  به مدت نیم ساعت تنش زدایی شد. عملیات حرارتی به منظور متبلور کردن شیشه در درون کوره الکتریکی و در دمای  $۹۲۵^{\circ}C$  به مدت ۸ ساعت، با سرعت گرم کردن  $۵^{\circ}C/min$  انجام شد. تعیین محدوده دمای عملیات حرارتی و همچنین دمای تنش زدایی با استفاده از دستگاه آنالیز حرارتی DTA مدل STA-1640 Polymer ساخت شرکت

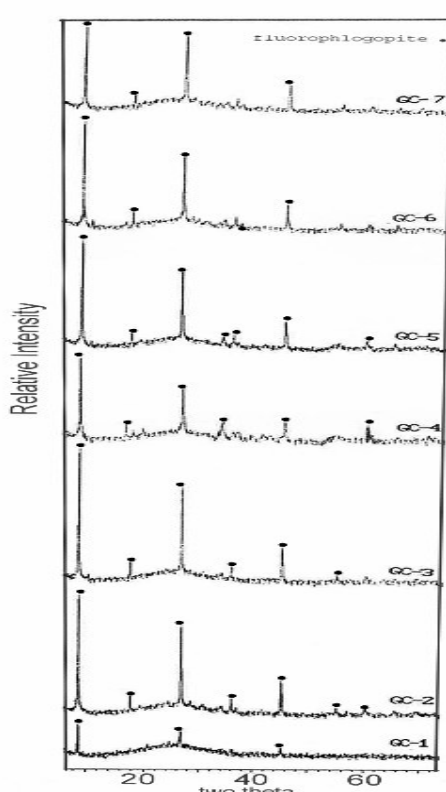


Labratories انجام شد. شکل (۲) نتیجه این آزمایش را نشان می‌دهد.

شناسایی نوع فاز یا فازهای بلورین ایجاد شده پس از عملیات حرارتی در قطعات شیشه - سرامیک با استفاده از دستگاه پراشگر پرتو ایکس (Siemens, D-500) انجام گرفت. در تمامی آزمایش‌ها وزن نمونه‌های آزمایش شده ۳ گرم و دانه‌بندی پودر بین ۴۵ الی ۶۰ میکرون انتخاب شد. شکل ۳ نتیجه حاصل از این آزمایش‌ها برای شیشه‌های متبلور شده ۱ تا ۷ نشان می‌دهند.



شکل ۲- گرانگاست DTA شیشه



شکل ۳- منحنی پراش XRD نمونه‌ها

بررسی ریز ساختار و چگونگی توزیع ذرات بلورین در هر یک از قطعات شیشه - سرامیک با استفاده از میکروسکوپ الکترونی روبشی (SEM) مدل Stereo Leica Cambridge Scane 360 ساخت شرکت Instron مدل 1196 انجام شد. بعد نمونه‌ها برای این آزمایش ۱۱۹۶×۵۰×۱۲ میلی متر مکعب و تعداد نمونه اندازه گیری شده برای هر ترکیب پنج عدد بود. با اعمال بار ۱۰۰۰ به مدت ۳۰ ثانیه (برای اندازه گیری سختی از دستگاه ریز سختی سنج ویکرز photoplan استفاده شد. قابلیت ماشینکاری شدن هر یک از قطعات شیشه - سرامیک با سوراخکاری آنها توسط مته معمولی (با قطر ۵ میلی‌متر) و سپس اندازه گیری توزیع اندازه ذرات پودر حاصل از ماشینکاری با اندازه گیری بزرگی ذرات با استفاده از پرتو لیزری و با دستگاه Analysette 22 ساخت Fritsch شرکت صورت گرفت.

### ۳- نتایج و بحث

همانطور که در بخش اول نیز بیان شد شیشه - سرامیک‌های تراشکاری شونده می‌توانند حاوی فازهای

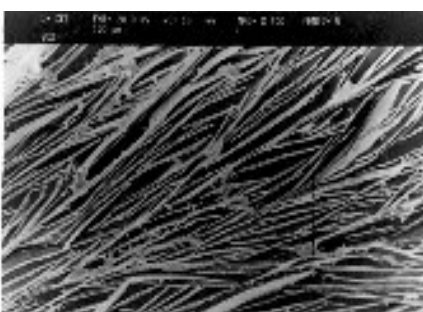


بلورین متفاوتی از خانواده میکا باشند. بدیهی است که نه تنها تفاوت در نوع میکای متبلور شده می‌تواند بر قابلیت تراشکاری قطعه و خواص مکانیکی آن موثر باشد [۳] بلکه ویژگی‌های دیگری همچون ترکیب و مقدار فاز شیشه باقیمانده و چگونگی رشد ذرات بلورین میکا (از نظر نسبت قطر به ضخامت) نیز می‌توانند بر این ویژگی‌ها تأثیر گذراند [۶]. گفته می‌شود که پارامترهایی از قبیل درصد حجمی زیاد فاز بلورین میکای فلوئور، کوچکی اندازه ذرات بلورین، نسبت قطر به ضخامت زیاد ورقه میکا و درهم قفل شدگی زیاد ذرات بلورین میکا در سهولت تراشکاری قطعه دخیل می‌باشند [۳ و ۷]. پس هر عاملی که موجب شود ویژگی‌های مذکور در قطعه ایجاد گردد بر کیفیت آن اثر مثبت خواهد داشت. گفته شده است که برای رشد ورقه‌هایی با نسبت قطر به ضخامت زیاد می‌بایست الف) جوانه زنی فاز میکا را تا دمای نسبتاً بالا (یعنی دمایی که رشد ناگهانی صورت می‌گیرد به تأخیر انداخت، ب) با محدود کردن غلطت پتانسیم (اتصال دهنده ورقه‌ها) رشد قطری را نسبت به رشد ضخامتی افزایش داد و (ج) گرانزوی شیشه باقیمانده را با افزایش  $B_2O_3$  کاهش داد تا دیفوزیون سریعتر اجزاء به لبه‌های بلور امکان‌پذیر شود [۷]. انتخاب ترکیبات مختلف موجود در جدول (۱) نیز بر این اساس صورت گرفت. ترکیب G.C.۱ در این جدول فرمول مبنای بوده و با توجه به محدوده اعلام شده برای این نوع شیشه-سرامیکها در مرجع [۳] انتخاب گردید. و ترکیبات دیگر بر این اساس انتخاب شدند که بتوان تأثیر درصدهای وزنی متفاوتی از یون‌های همچون  $K^{+}$ ,  $B^{3+}$  و  $F^{-}$  را (با ثابت نگه داشتن درصد وزنی بقیه عناصر در هر فرمول) در شیشه - سرامیکها مورد بررسی قرار داد. بر این اساس شیشه‌های GC۲ و GC۳ بر اساس تغییر فلوئورنسیت به فرمول مبنای یعنی GC1 و GC۴ و GC۷ و GC۲O بر اساس تغییر  $K_2O$  نسبت به فرمول مبنای ترکیبات GC۲ و GC۷ و GC۲O بر اساس تغییر GC۲O نسبت به فرمول مبنای تهیه شدند.

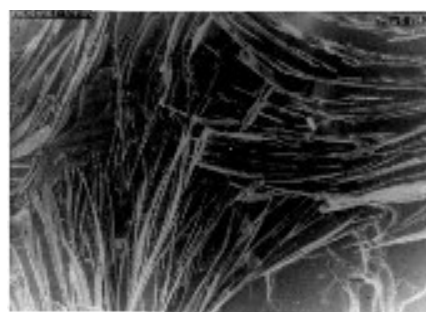
جدول ۲- نتایج آزمایش‌های انجام شده بر روی نمونه‌ها

GC.۷	GC.۶	GC.۵	GC.۴	GC.۳	GC.۲	GC.۱	خواص بررسی شده
۷۹	۶۵	۶۵/۵	۴۰/۷	۱۰۰	۷۹	۹/۵	شدت نسبی صفحه (۱۰۰) فاز میکا (%)
متوسط	متوسط	بسیار خوب	خوب	خوب	خوب	بد	قابلیت تراشکاری
فلوگوییت	فلوگوییت	فلوگوییت	فلوگوییت	فلوگوییت	فلوگوییت	فلوگوییت	فاز بلورین
<۸/۸۵	<۷/۹۷	<۴/۸۶	<۵/۴۳	<۷/۷۱	<۸/۷۷	<۸/۵۸	$d_{50}(\mu\text{m})$ ناشی از تراشکاری
۵/۵	۹	۴۲	۱۴	۷/۵	۱۶/۵	۲۵/۵	استحکام MPa
۴/۵۱	۲/۹۲	۲/۵۱	۲/۰۳	۳/۲۵	۴/۴۶	۴/۰۸	سختی GPa

جدول (۲) ماحصل آزمایش‌های XRD، استحکام خمی، ریزساختار، قابلیت تراشکاری و چگونگی توزیع اندازه ذرات پودرهای ناشی از تراشکاری هر یک از این شیشه - سرامیکها را نشان می‌دهد. همانگونه که در جدول (۲) دیده می‌شود در میان این ترکیبات سه ترکیب GC۲، GC۳ و GC۴ از قابلیت تراشکاری خوب، دو ترکیب GC۷ و GC۲O از قابلیت تراشکاری متوسط، ترکیب GC از قابلیت تراشکاری بد و ترکیب GC۵ از قابلیت تراشکاری خیلی خوب برخوردار بودند.



شکل ۵- ریزساختار نمونه GC.۲ پس از عملیات حرارتی (بزرگنمایی ۳۰۰)

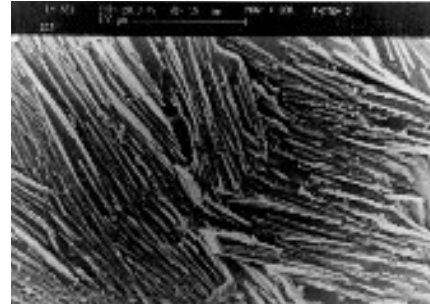


شکل ۶- ریزساختار نمونه GC.1 پس از عملیات حرارتی (بزرگنمایی ۳۰۰)



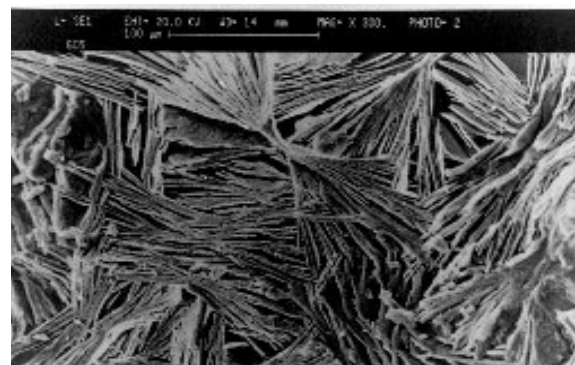


شکل ۷- ریز ساختار نمونه GC.۴ پس از عملیات حرارتی  
(بزرگنمایی ۳۰۰)



شکل ۶- ریز ساختار نمونه GC.۳ پس از عملیات حرارتی  
(بزرگنمایی ۳۰۰)

علت ویژگی تراشکاری بد در شیشه - سرامیک GC1، با توجه به شدت پیک پرتو ایکس صفحه (۰۰۱) فاز فلوگوپیت در این شیشه سرامیک، را می‌توان به میزان تبلور انداک در شیشه مذکور مربوط دانست. اما برای درک تفاوت قابلیت تراشکاری بین ترکیبات دیگر مجدداً می‌بایست تفاوت‌های ریزساختاری بین آنها را مورد ارزیابی قرار داد. تصاویر ۴ تا ۱۰ به ترتیب ریز ساختار شیشه سرامیک‌های G.C.۱ تا G.C.۷ را که توسط میکروسکوپ الکترونی رویشی تهیه شده‌اند نشان می‌دهد. همانطور که مشاهده می‌شود



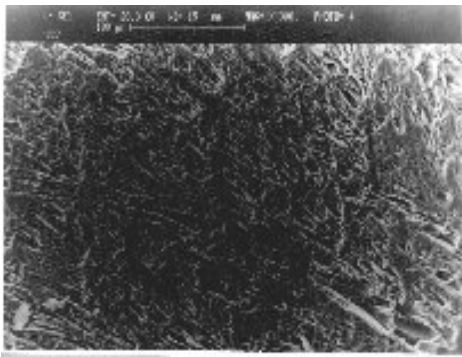
شکل ۸- ریز ساختار نمونه GC.۵ پس از عملیات حرارتی (بزرگنمایی ۳۰۰)

ریزساختار شیشه - سرامیک GC5 از نظر کوچکی خوش‌های بلورین و میزان درهم قفل شدن آنها از ریز ساختار بقیه شیشه - سرامیک‌ها کاملاً متمایز و اندازه ورقه‌های میکا در آن کوچکتر از صد میکرون می‌باشد. بنابراین همانگونه که محققین دیگر نیز قبلاً گزارش کرده‌اند در این مورد وجود چنین ریز ساختاری موجب برخورداری شیشه - سرامیک GC5 از قابلیت تراشکاری بسیار زیاد و همچنین استحکام بیشتر نسبت به نمونه‌های دیگر می‌باشد [۴۰]. شیشه - سرامیک مذکور از نظر متوسط اندازه ذرات پودر حاصل از سوراخکاری و همچنین سختی نیز با دیگر قطعات مورد بررسی متفاوت می‌باشد. از جدول (۲) می‌توان مشاهده کرد که متوسط اندازه ذرات پودر حاصل از سوراخکاری این شیشه سرامیک و همچنین سختی آن نسبت به شیشه - سرامیک‌های دیگر از کمترین مقدار برخوردار می‌باشد. گفته می‌شود ابعاد پودر حاصل از تراشکاری به ابعاد ورقه‌های بلورین میکا در قطعه شیشه - سرامیک بستگی دارد [۹]. بنابراین همانطور که از تصاویر میکروسکوپی نیز مشاهده گردید، می‌توان نتیجه گرفت که ورقه‌های بلورین فلوگوپیت در شیشه - سرامیک GC5 ابعاد کوچکتری نسبت به شیشه - سرامیک‌های دیگر دارند. این ابعاد ریز استحکام زیاد این شیشه سرامیک را نیز در مقایسه به دیگر شیشه - سرامیک‌ها توجیه می‌نماید زیرا گفته شده است زمانی که ابعاد ورقه‌های بلورین میکا بزرگتر از ۴/۵ میکرون باشد استحکام قطعه با توان یکم قطر ورقه نسبت عکس خواهد داشت [۳۰]. گفته می‌شود این حالت به تمرکز تنش در فصل مشترک بلور - شیشه، ناشی از عدم تطابق ضرایب انبساط حرارتی فاز میکا با زمینه شیشه مربوط می‌شود که با بزرگتر شدن ابعاد ذرات



بلورین، بزرگتر شدن تنش‌های ایجاد شده، که گاه با ایجاد ریز ترک همراه است و در نتیجه کاهش استحکام را به همراه خواهد داشت [۳۰ و ۴۰]. باید توجه داشت که سختی ماده فاکتور دیگری است که در قابلیت تراشکاری شیشه - سرامیک اثر دارد. واضح است که موادی که سختی کمتری دارند از قابلیت تراشکاری بیشتری نیز برخوردار باشند.

نکته دیگری که از دیدگاه علم مواد قابل توجه است، مغایرتی است که در وهله اول به نظر می‌رسد نتیجه حاصل از روند افزایش میزان کاتیون  $K^+$  بر ویژگی تراشکاری قطعه شیشه - سرامیک با اکثریت منابع علمی دیگردارا می‌باشد. همانطور که قبل ذکر شد برخی از محققین معتقدند که به منظور بهبود قابلیت تراشکاری شیشه - سرامیک‌های میکائی فلوبور (از طریق افزایش نسبت قطر به ضخامت ورقه‌های میکا) می‌باشد. تا حد امکان غلظت  $K^+$  را در شیشه کاهش داد [۸]. اما Chyung و همکارانش معتقدند که کاهش غلظت  $K^+$  در شیشه می‌تواند کاهش احتمال جوانه‌زنی بلورهای میکا را نیز در پی داشته باشد [۸]. با تأیید این نظر و با توجه به تصویر (۸) به نظر می‌رسد که در پژوهش حاضر افزایش غلظت  $K^+$  در شیشه اولیه موجب افزایش قابلیت جوانه‌زنی فاز بلوری میکا و از سوی دیگر کاهش نسبت قطر به ضخامت بلورهای میکا (از طریق افزایش سرعت رشد ضخامتی) را به همراه داشته است. گفته شده است که نسبت قطر به ضخامت برابر با ۱۲ بیشترین میزان استحکام را به همراه دارد و نسبتهاي بزرگتر از آن تاثیری بر افزایش استحکام ندارد [۱۰]. بنابراین به نظر می‌رسد کاهش استحکام ناشی از تنش‌ها و احتمالاً ترکهای ناشی از عدم تطابق ضرایب انبساط حرارتی دو فاز شیشه باقی مانده و بلور میکا که با رشد قطری رابطه مستقیم دارد نقش مهمی را در کاهش استحکام نمونه‌های حاوی  $K_2O$  کم ایفا می‌نماید.



شکل ۱۰- ریزساختار نمونه GC.7 پس از عملیات حرارتی  
(بزرگنمایی ۳۰۰)



شکل ۹- ریزساختار نمونه GC.6 پس از عملیات حرارتی  
(بزرگنمایی ۳۰۰)

کاهش تدریجی فلوبور از ۱۰ به ۶ درصد وزنی، کاهش استحکام و همچنین کاهش سختی قطعات شیشه - سرامیک را به ترتیب از  $25/5$  MPa و  $4/0.7$  GPa (در ترکیب GC1) به  $7/5$  MPa و  $3/2.5$  GPa (در ترکیب GC3) به دنبال داشت. با توجه به نقش کمک ذوب گونه فلوبور در ترکیب شیشه [۱۱] انتظار می‌رفت که کاهش این ماده افزایش خواص مکانیکی را به همراه داشته باشد اما با توجه به آنکه ماده اولیه تامین کننده فلوبور در این پژوهش  $MgF_2$  بود، نتایج مذکور معقول به نظر می‌آید. زیرا گفته می‌شود که  $MgF_2$  در ترکیب این نوع شیشه‌ها به عنوان عامل جوانه‌زای فازهای بلورین عمل می‌کند [۱۲ و ۱۳]. با توجه به این موضوع می‌توان انتظار داشت که کاهش درصد وزنی  $MgF_2$  کاهش تعداد مراکز جوانه‌زنی و در نتیجه افزایش بیش از حد قطر ورقه‌های میکا را در پی داشته باشد که این حالت خود اثر سوء بر استحکام و سختی قطعه خواهد داشت.

نحوه تغییر استحکام و سختی قطعات شیشه - سرامیک با تغییر درصد وزنی  $B_2O_3$  از روند خاصی تعیین نکرد و نتایج حاصل با توجه به داده‌ها و اطلاعات موجود غیر قابل توضیح می‌باشد.



#### ۴- نتیجه‌گیری

- از انجام این پژوهش نتایج ذیل حاصل گردید:
- با افزایش درصد  $K_2O$  در ترکیب شیشه قابلیت تراشکاری، سختی و استحکام قطعه شیشه - سرامیک افزایش می‌یابد.
- با توجه به تصاویر میکروسکوپی SEM و نتایج XRD، به نظر می‌رسد که بهبود خواص شیشه - سرامیک (ناشی از بیشتر شدن درصد  $K_2O$ ) از افزایش درصد حجمی، ریزتر شدن و بی‌نظمی بیشتر در نحوه آرایش خوش‌های بلوری فاز میکائی فلوئور سرچشمه می‌گیرد.
- افزایش  $K_2O$  در ترکیب شیشه از طریق کاهش نسبت قطر به خاصیت بلورهای ورقه‌ای میکائی فلوئور و در نتیجه کاهش تنش ناشی از عدم انطباق ضرایب انبساط حرارتی فاز بلوری و زمینه شیشه، موجب افزایش استحکام ترکیب GC5 نسبت به ترکیبات دیگر می‌گردد.
- به نظر می‌رسد کاهش میزان F، از طریق کاهش میزان  $MgF_2$  موجب کاهش مقدار مراکز جوانه‌زنی و در نتیجه رشد افراطی قطر ورقه می‌شود. این حالت کاهش استحکام و سختی را در پی خواهد داشت.

#### مراجع

1. Daniels,W.H. & Moore,R.E., "Crystallization of a Tetrasilicic Fluoromica Glass", J.Am.Ceram.Soc,58: 217-221(1975).
2. Beall,G.H., "Design of Glass-Ceramic", Reviews of Solid State Science,World Scientific Publishing Company, 3: 333-354(1989).
3. Grossman,D.G., "Machining a Machinable Glass-Ceramic", Vacuum,28: 55-61(1977).
4. Grossman,D.G., "Machinable Glass-Ceramic Based on Tetrasilicic Mica", J.Am.Ceram.Soc,55: 446-449(1972).
5. Strand,Z, "Glass-Ceramic Materials", Glass Science and Technology,Elsevier, New York,PP: 107-110(1986).
6. Rothenberg,B.G., "Glass Technology",Noyes Data Corporation,New Jersey,PP: 233-235(1976).
7. Meyers,R.A., "Encyclopedia of Physical Science and Technology",Academic Press,New York,Volume 7,PP: 450-455(1987).
8. Chyung,C.K. Beall,G.H. and Grossman,D.H., "Microstructure & Mechanical Properties of Mica Glass-Ceramic", in Tenth International Congress on Glass,Part II,Edited by Kunugi,M. Tashiro,M. and Saga,N.,The Ceramic Society of Japan,Kyoto,Japan,PP: 14.33-14.47(1974).
9. Saraswati,V., "Development of a Machinable Glass-Ceramic", Advanced Ceramic,PP: 193-197(1990).
10. Wachtman,John B, "Mechanical Properties of Ceramics", John Wiley & Sons,New York(1996).
11. Likitvanichkul,S. and Lacourse,W.C., "Effect of Fluorine Content on Crystallization of Canasite Glass-Ceramics", J.Mat.Sci.,30: 6151-6155(1995).
12. Hamasaki,T.,Katsuya,Eguchi.,Yoshinori,Koyanagi.,Matsumoto,A.,Utsunomiya,T. and Koba,K., "Preparation and Characterization of Machinable Mica Glass-Ceramic by the Sol-Gel Process", J.Am.Ceram.Soc.,71[12]: 1120-1124(1988).
13. Dalal,K.H. and Davis,P.F., "Beta Spodomene-Mica Glass-Ceramic I,Phase Evolution and Microstructure", Ceramic Bulletin,56: 991-997(1977).



# بررسی تأثیر مواد اولیه مختلف حاوی منیزیا بر خواص جرمهای ریختنی آلومینا - منیزیا

رحیم نقی‌زاده<sup>۱</sup>، سعید شهراد<sup>۲</sup>، زیارت‌علی نعمتی<sup>۳</sup>، منوچهر مندگاریان<sup>۴</sup>، الهام ملک محمدی<sup>۱</sup>

<sup>۱</sup>دانشگاه علم و صنعت ایران، <sup>۲</sup>دانشگاه آزاد اسلامی، <sup>۳</sup>دانشگاه صنعتی شریف، <sup>۴</sup>شرکت نسوز پارس

**چکیده:** کاربرد جرم‌های ریختنی آلومینا - منیزیا و آلومینا - اسپینل به جای آجرهای آلومینا بالا در پاتیل‌های فولاد (به جز خط سریاره) در برخی از کارخانه‌ها معمول شده است. در جرم‌های آلومینا - منیزیا، در حین کار اسپینل به صورت درجا تشکیل می‌گردد و موجب افزایش مقاومت به خوردگی می‌گردد. برای معرفی منیزیا در جرم از مواد اولیه متعددی می‌توان استفاده کرد. در این پژوهش از کربنات منیزیم، هیدروکسید منیزیم، کلرید منیزیم و منیزیات زینتر شده برای تأمین منیزیا استفاده شده است. میزان  $O/Mg$  موجود در مواد اولیه مذکور معادل  $0.91\%wt$  بوده است. نتایج مکانیکی و ریزاساختاری و پراش پرتو  $\times$  حاکی است که از بین این مواد، جرم‌های حاوی منیزیات زینتر شده و کربنات منیزیم از نظر درصد آب مصرفی، استحکام خمشی سرد، تحوجه توزیع عنصر در زمینه و ایجاد فاز اسپینل و ضعیت مناسب تری نسبت به جرم‌های حاوی کلرید منیزیم و جرم‌های حاوی درصد بالای هیدروکسید منیزیم داشته‌اند. جرم‌های حاوی کلرید منیزیم به دلیل اتحاد کلرید منیزیم و مهاجرت آن به سطح و جرم‌های حاوی درصد بالای هیدروکسید منیزیم بدلیل تجمع موضعی هیدروکسیدها خواص مطلوبی را نشان نداده‌اند.

**کلمات کلیدی:** جرم‌های ریختنی آلومینا - منیزیا ، اسپینل درجا ، مواد اولیه حاوی منیزیا

## ۱- مقدمه

جرمهای آلومینا - منیزیا و آلومینا - اسپینل در آستر پاتیل‌های فولاد (LF) و در زیر خط سریاره وسیعاً به کار می‌روند [۱]. در جرم‌های ریختنی  $Al_2O_3-MgO$ ، منیزیا با آلومینا در حین کاربرد واکنش می‌کند و اسپینل درجا (*In situ*) تشکیل می‌دهد در حالیکه در جرم‌های ریختنی آلومینا - اسپینل از همان ابتدا از ذرات سنتزی اسپینل استفاده می‌گردد [۲]. جرم‌های آلومینا - منیزیا برای قسمت Impact pad و دیواره و جرم‌های آلومینا - اسپینل برای قسمت کف کوره به جز Impact pad بکار می‌روند [۲]. مقاومت در برابر خوردگی جرم‌های آلومینا - منیزیا بهتر از جرم‌های آلومینا - اسپینل [۳] و مقاومت در برابر شوک حرارتی جرم‌های آلومینا - اسپینل بهتر از نوع دیگر می‌باشد [۱]. دلیل مقاومت خوردگی مطلوبتر هردو نوع جرم آلومینا - منیزیا و آلومینا - اسپینل نسبت به دیرگذارهای آلومینیابی را می‌توان به قابلیت جذب یونهای  $Mn^{+2}$ ،  $Fe^{+2}$ ،  $Fe^{+3}$  توسط محلول جامد اسپینل موجود در جرم و در نتیجه کاهش خورندگی ناشی از مذاب فولاد و سریاره و همچنین تشکیل  $CA_6$  در اثر واکنش  $CaO$  موجود در سریاره با  $Al_2O_3$  موجود در زمینه جرم و در نتیجه افزایش تراکم زمینه به دلیل اختلاف دانسیته  $CA_6$  با عوامل واکنشی نسبت داد [۴]. ضمن اینکه  $CA_6$  حاصل از این واکنش یا تبدیلات فازهای سیمانی نیز قابلیت جذب کاتیونها را از مذاب دارد [۴]. در بحث فازها از علائم اختصاری مطابق دیاگرام  $Al_2O_3-MgO$  ترکیب استوکیومتری اسپینل آلومینات منیزیم (MA) دارای  $28/2$  درصد وزنی  $MgO$  و  $71/8$  درصد وزنی  $Al_2O_3$  می‌باشد و با افزایش دما انحلال آلومینا و منیزیا در آن رخ می‌دهد به طوری که در  $1600^{\circ}C$ ،  $2$  درصد وزنی  $MgO$  و  $6$  درصد وزنی  $Al_2O_3$  در اسپینل حل و منجر به ایجاد اسپینل غنی از منیزیا و یا غنی از آلومینا می‌گردد [۵]. اسپینل‌های محلول جامد مذکور در دمای محیط به صورت نیمه پایدار و عموماً به صورت دو فازی، شامل فاز اصلی اسپینل محلول جامد و فاز فرعی آلومینا یا منیزیا

مطابق دیاگرام  $Al_2O_3-SiO_2-CaO$  ترکیب استوکیومتری اسپینل آلومینات منیزیم (MA) دارای  $28/2$  درصد وزنی  $H_2O$  و  $71/8$  درصد وزنی  $Al_2O_3$  می‌باشد و با افزایش دما انحلال آلومینا و منیزیا در آن رخ می‌دهد به طوری که در  $1600^{\circ}C$ ،  $2$  درصد وزنی  $MgO$  و  $6$  درصد وزنی  $Al_2O_3$  در اسپینل حل و منجر به ایجاد اسپینل غنی از منیزیا و یا غنی از آلومینا می‌گردد [۵]. اسپینل‌های محلول جامد مذکور در دمای محیط به صورت نیمه پایدار و عموماً به صورت دو فازی، شامل فاز اصلی اسپینل محلول جامد و فاز فرعی آلومینا یا منیزیا



می باشند<sup>[6]</sup>. حضور آلمینیا آزاد در بهبود مقاومت در برابر شوک حرارتی اسپینل موثر است زیرا اختلاف ضرایب انبساط حرارتی این دو فاز موجب بسته شدن ترک های بزرگ و یا ایجاد ریزترک می گردد<sup>[6]</sup>. در اسپینل غنی از آلمینیا جاهای خالی کاتیونی و در اسپینل غنی از منیزیا جاهای خالی آئیونی افزایش می یابد. اتحلال آلمینیا در اسپینل موجب کاهش ابعاد سلول واحد می گردد که از این موضوع برای تخمین میزان غیر استوکیومتری بودن اسپینل استفاده می شود<sup>[7]</sup>. مطالعات متعددی بر روی تشکیل اسپینل از مواد اولیه مختلف، صورت گرفته است. Serry و همکارانش از بروسیت روسی، گیبسیت، اکسید زیرکونیوم، ایلمنیت طبیعی و بوکسیت کلسینه شده برای تهیه اسپینل های مختلف استوکیومتری، غنی از آلمینیا و منیزیا و همچنین اسپینل حاوی ماده افروندی  $ZrO_2$  استفاده کرده اند<sup>[8]</sup>. Chen و همکارانش برای تهیه جرمها ای آلمینیا-منیزیا از پودر ۵/۵ درصد وزنی منیزیای حاوی ۹۵ درصد  $MgO$  و ۴/۰ درصد  $Al_2O_3$  استفاده کرده اند<sup>[2]</sup>. Fuhrer و همکارانش برای تهیه در جرم ریختنی آلمینیا-منیزیا از زمینه حاوی آلمینیای تیولا، آلمینیای راکتیو، میکروسیلیس، سیمان آلمینیا بالا و منیزیای آب دریا ( $<0.250\text{ mm}$ ) استفاده کرده اند<sup>[6]</sup>. Muknopadhyoy تهیه کردن و سپس میزان ۲٪-۵٪ وزنی از آن را به جرم پایه آلمینیایی کم سیمان اضافه کردن<sup>[9]</sup>. Nandi و همکارانش بر روی خواص زمینه جرمها ای آلمینیا-منیزیا متمرکز شدند. آنها مواد زمینه را با آب مخلوط کرده و بعد از پرس کردن در دماهای  $1400^{\circ}\text{C}$   $1500$  زیتر کردند. Nandi و همکارانش از دو منع منیزیا یکی منیزیای آب دریایی زیتری ( $0.251\text{ mm}$ -۰/۸۹) و هیدروکسید منیزیم ( $0.053\text{ mm}$ ) استفاده کردن<sup>[10]</sup>. با توجه به اینکه مطالعات بر روی کاربرد مستقیم مواد اولیه مختلف حاوی  $MgO$  در جرمها آلمینیا-منیزیا کمتر پرسی شده است در این پژوهش به این موضوع پرداخته شده است.

۳- روشن تحقیق

مشخصات مواد اولیه مصرفی در جدول ۱ آورده شده است. بقیه مواد اولیه مصرفی شامل کربنات منیزیم، هیدروکسید منیزیم و کلرید منیزیم از نوع شیمیایی با خلوص ۹۹ درصد و دانه بندی زیر  $\mu\text{m}$  ۷۴ بوده است. فرمولاسیون های انتخابی از نوع جرم ریختنی آلومینا-منیزیایی کم سیمان با قطر بیشینه ( $D_{\max}$ )  $4/76\text{mm}$  و  $n = 0/3$  (در رابطه آندریازن) بوده است. میزان آلومینای تبular ۷۸ درصد وزنی، میزان سیمان سکار ۵ درصد وزنی، آلومینای راکتیو ۷ درصد وزنی و مجموع آلومینای کلسینه شده و ماده اولیه انتخابی حاوی منیزیما ۱۰ درصد وزنی، بوده است. میزان ماده اولیه حاوی منیزیما به همراه کد فرمولها در جدول ۲ آورده شده است.

## جدول ۱ - ویژگی های مواد اولیه مصرفی

منزیبای زینتر	سیمان سکار	سیمان راکتیو	آلومنیای کلسینه	آلومنیای تبلوار	آلومنیای بیزگی
<۱	<۷۲/۲	۹۹/۶	۹۹/۴۶	۹۹/۴۰	$\text{Al}_2\text{O}_3$
>۹۷	<۰/۳	-	.۰/۰۵	.۰/۰۳	$\text{MgO}$
<.۶	<۰/۸	.۰/۰۵	.۰/۰۴	.۰/۰۳	$\text{SiO}_2$
<۱	<۰/۳	.۰/۰۳	.۰/۰۲	.۰/۰۲	$\text{Fe}_2\text{O}_3$
-	<۰/۲۵	.۰/۰۶	.۰/۲۶	<۰/۰۳۵	$\text{Na}_2\text{O}$
<۱/۵	<۲۹/۲	.۰/۰۲	.۰/۰۳	.۰/۰۳	$\text{CaO}$
-	۳۶۰۰-۴۱۰۰ <sup>۱</sup>	۳۴۰۰ <sup>۱</sup>	-	-	سطح مخصوص
۶۰ <sup>۱</sup>	۸-۹	۷/۵	-	-	اندازه ذرات
۷۴	۹۵	۱۲	۳۷	۴۷۶۰	اندازه ذرات
پر کلاز	CA-CA <sub>2</sub>	- کوراندوم	- $\alpha$	- کوراندوم	فازهای اصلی

۱۰۰) درصد وزنی تری پلی فسفات سدیم (TPP) و هگزامتافسفات سدیم (HMP) به عنوان روانساز و ۰۴٪ اسید سیتریک، به عنوان کننده گیرش سیمان به همراه ۵/۶٪ آب برای تهیه مخلوط جرم انتخاب شدند. پس، از ۴ دققه مخلوط کردن جرم به صورت خشک و ۳ دققه مخلوط کردن همراه با آب و

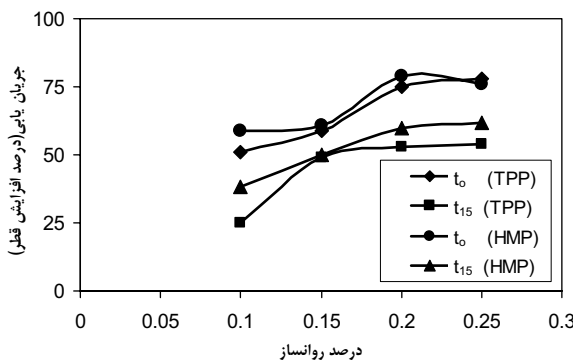




مواد افزودنی در مخلوط کن هوبارت، جرم ریختنی در قالب ویکات دارای قاعده 100 mm و ارتفاع 50 mm قالب گیری شد. با برداشتن حلقه در زمانهای صفر ( $t_0$ ) و 15 دقیقه ( $t_{15}$ ) و سپس 25 بار ضربه زدن با دستگاه میز جریان، درصد افزایش قطرها اندازه گیری شد که نتایج یکی از نمونه ها در شکل ۱ آورده شده است. همان طور که مشاهده می گردد افزودن ۲/۰ درصد هگزرا متأثر فسفات سدیم تأثیر قابل ملاحظه ای در روانسازی دارد.

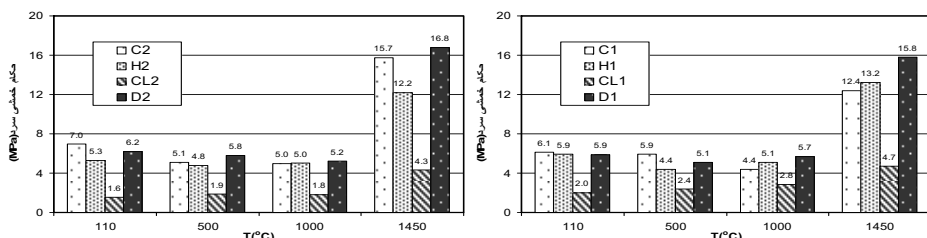
جدول ۲- میزان ماده اولیه تأمین کننده منیزیا (درصد وزنی) و کد فرمولاسیونها

منیزیت زینتر شده	کلرید منیزیم	هیدروکسید منیزیم	کربنات منیزیم	منیزیا
$D_1 = 1$	$Cl_1 = 2/29$	$H_1 = 1/40$	$C_1 = 2/03$	۰/۹۷
$D_2 = 2$	$Cl_2 = 4/58$	$H_2 = 2/80$	$C_2 = 4/06$	۱/۹۴
$D_3 = 3$	$Cl_3 = 6/87$	$H_3 = 4/20$	$C_3 = 6/09$	۲/۹۴

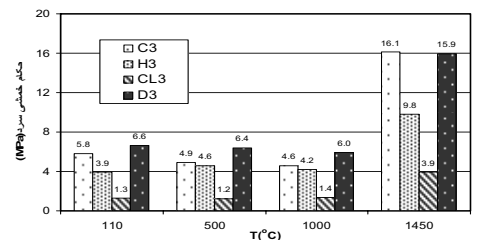


شکل ۱- خواص جریان یابی فرمول C<sub>3</sub> برای دو زمان مختلف

سپس بچه های مختلف پس از مخلوط کردن با آب و افزودنی ها در قالب های 152×25×25 mm<sup>3</sup> ریخته شدند. عمل آوری (curing) در محیط مرطوب به مدت ۲۴ ساعت انجام شد. بعد از آن نمونه ها از قالب ها در آورده شده و در خشک کن قرار داده شد. سرعت گرمایش تا دمای ۱۰۵ °C برابر با ۱/۰۵ h⁻¹ بود و نمونه به مدت ۲۴ ساعت در این دما ماند. بعد از طی مراحل خشک کردن، نمونه ها در دمای ۱۰۰۰ °C، ۵۰۰ °C و ۱۴۵۰ °C به مدت ۳ ساعت پخت گردید. پس از سرد شدن استحکام خمی سه نقطه ای نمونه ها با دستگاه Shenk اندازه گیری شد که میانگین ۵ نمونه در شکل های ۲ الی ۴ آورده شده است.

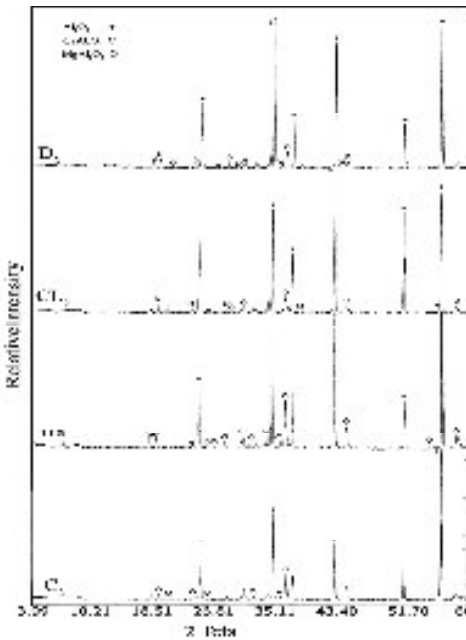


شکل ۲- استحکام خمی نمونه های مختلف دارای ۱/۹۴٪ MgO



شکل ۴- استحکام خمی نمونه های مختلف دارای ۲/۹۴٪ MgO

برروی نمونه های پخته شده حاوی  $MgO$  ۱/۹۴٪ که انتظار می رفت بعد از پخت در  $1450^{\circ}C$  ، در آنها ۸/۶٪ اسپینل تشکیل شود آزمایش پراش پرتو X (توسط دستگاه JDX-8030 Jeol). صورت گرفت. الگوهای پراش پرتو X نمونه های مذکور در شکل ۵ آورده شده است. ریز ساختار نمونه های فوق توسط دستگاه میکروسکوپ الکترونی (SEM+EDX) مدل S360-Cambridge مورد بررسی قرار گرفت که نتایج حاصل از این بررسی ها در شکل های ۶ الی ۹ آورده شده است.



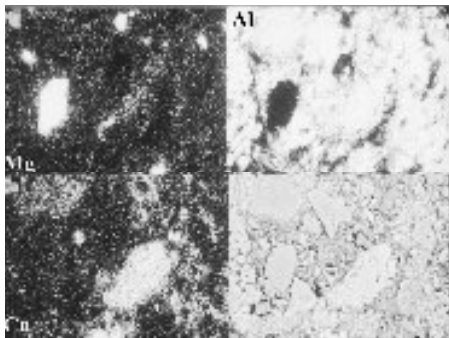
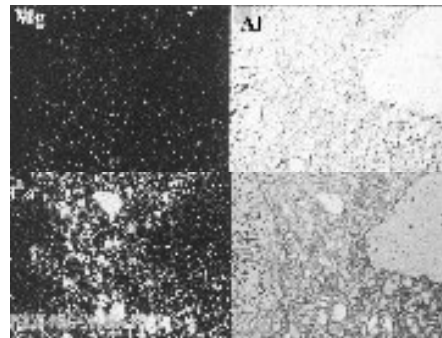
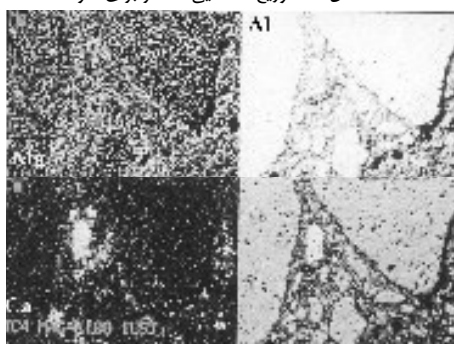
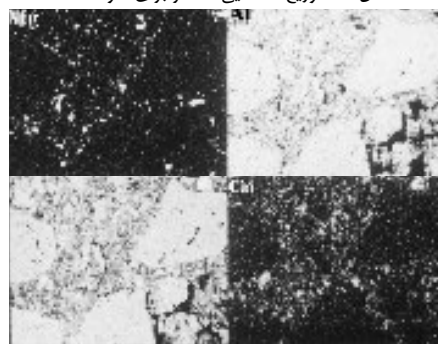
شکل ۵- الگوی پراش اشعه X نمونه های مختلف حاوی  $MgO$  ۱/۹۴٪ پس از پخت در دمای  $1450^{\circ}C$

### ۳- نتایج و بحث

مطابق شکل ۱ روانسازی مناسب با ۰/۰۴٪ اسید سیتریک و ۰/۲٪ هگزا متا فسفات سدیم حاصل می شود که میزان آب مصرفی با تست ball in hand تقریباً برابر نمونه های حاوی منیزیت زیتر شده و کربنات منیزیم ۶/۵٪، برای جرمها حاوی هیدروکسید منیزیم ۷٪ و برای نمونه های حاوی کلرید منیزیم ۷/۵٪ بود. با توجه به این که درصد آب مصرفی برای جرمها کم سیمان ۵٪ وزنی می باشد، به نظر می رسد که دانه بندی ترکیبات مورد بررسی در این تحقیق از دانه بندی ایده ال فاصله دارند و همچنین بهتر است که با روانسازهای تجاری روانسازی انجام گردد. ضمناً اتحلال یا ژلاسیون برخی از ترکیبات حاوی منیزیات استفاده شده نیز می تواند خود عامل دیگری برای مصرف بیشتر آب باشد.

نتایج استحکام خمی سرد مطابق شکل های ۲ الی ۴ نشان می دهد که استحکام نمونه های حاوی منیزیات زیتر شده و کربنات منیزیم تقریباً در دماهای مختلف شبیه هم می باشد و بعد از آن استحکام های نمونه های حاوی هیدروکسید منیزیم و در نهایت استحکام های نامطلوب نمونه های کلرید منیزیم قرار دارد. استحکام  $110^{\circ}C$  نمونه ها به توزیع دانه بندی، درصد سیمان، عمل آوری نمونه ها، میزان آب مصرفی و کنش های متقابل مواد افزودنی و مواد دیگر بر روی هم迪گر بستگی دارد. استحکام  $500^{\circ}C$  اکثر نمونه ها نسبت به استحکام  $110^{\circ}C$  مقداری کاهش دارد. این موضوع به دلیل دهیدراته شدن فازهای سیمانی موجود در زمینه مثل  $CAH_{10}$  ،  $C_2AH_8$  ،  $C_3AH_6$  ، ژل هیدرات آلومینیم و گیسیت می باشد [۱۱]. در  $500^{\circ}C$  فازهای  $A$  ،  $C_{12}A_7$  و احتمالاً مقداری از فازهای هیدراته وجود دارد. به دلیل عدم استفاده از میکروسیلیس در کلیه نمونه ها فاز زئولیتی CASH وجود ندارد که از افت استحکام نمونه ها در دماهای میانی به دلیل داشتن ناحیه

وسیع دهیدراسیون جلوگیری کند[۱۲] . استحکام قطعات پخته شده در  $1000^{\circ}\text{C}$  تقریباً در کلیه نمونه ها نسبت به استحکام قطعات پخته شده در  $500^{\circ}\text{C}$  افت جزئی دارد که احتمالاً به دلیل دهیدراته شدن فازهای هیدراته باقیمانده و یا ایجاد فازهای CA ،  $\text{CA}_2$  و A از فاز  $\text{C}_{12}\text{A}_7$  می باشد که به دلیل اختلاف دانسیته ها با انقباض موضعی موجب ایجاد تنفس در درون زمینه و افزایش جزئی در اندازه تخلخل ها می گردد که می تواند در نهایت موجب افت استحکام گردد[۱۱] . ضمناً در نمونه های حاوی کربنات منیزیم، هیدروکسید منیزیم و کلرید منیزیم به دلیل اتمام تجزیه در دمای  $1000^{\circ}\text{C}$  تخلخل بیشتری بایستی وجود داشته باشد.

شکل ۷- توزیع نقشه بی عنصر برای نمونه  $\text{H}_2$ شکل ۶- توزیع نقشه بی عنصر برای نمونه  $\text{L}_2$ شکل ۹- توزیع نقشه بی عنصر برای نمونه  $\text{C}_2$ شکل ۸- توزیع نقشه بی عنصر برای نمونه  $\text{D}_2$ 

در جرمهای آلمینا-منیزیا تشکیل اسپینل از  $1200^{\circ}\text{C}$  شروع می شود و در  $1400^{\circ}\text{C}$  به سرعت زیادی انجام می شود[۶] . موضوع تشکیل اسپینل در همه جرمهای مورد مطالعه توسط پراش اشعه X مطابق شکل ۵ تایید گردیده است. اسپینل تشکیل شده تا  $1400^{\circ}\text{C}$  تقریباً استوکومتری می باشد ولی بعد از آن بویژه در حوالی  $1600^{\circ}\text{C}$  اسپینل غنی از آلمینا به مقدار زیادی تشکیل می گردد. از طرف دیگر فاز CA موجود در قسمت سیمانی به تدریج به  $\text{CA}_2$  و  $\text{CA}_6$  در محدوده دمای  $1200^{\circ}\text{C}$  تا  $1400^{\circ}\text{C}$  تبدیل می گردد که اگر در نزدیکی سطح ذرات آلمینایی تبولار باشد به سطح آن نفوذ می کند و موجب افزایش استحکام می گردد[۱۳] . مطابق الگوهای پراش اشعه X (شکل ۵) در نمونه های مورد مطالعه  $\text{CA}_2$  وجود دارد. اگر چنانچه مقدار جزئی میکروسیلیس یا سیلیس فعال در زمینه باشد با تشکیل فازهای آلمینوسیلیکات منیزیم کلسیم CMAS در زمینه موجب افزایش استحکام سرد می گردد[۴] . به نظر می رسد که پدیده های فوق به همراه با زینتر در دمای  $1450^{\circ}\text{C}$  عامل افزایش شدید استحکام نمونه ها نسبت به دمای  $1000^{\circ}\text{C}$  می باشد.

درباره استحکام سرد نمونه های  $\text{MgCl}_2$  در تمام درصدها و نمونه های  $\text{H}_3$  در نمونه  $\text{H}_3$  بایستی به رفتار این دو ماده در هنگام مخلوط کردن و خشک کردن توجه شود. میزان انحلال  $\text{MgCl}_2$  در دمای  $20^{\circ}\text{C}$  حدود  $1\text{ gr}/100\text{ml}$  و  $50\text{ gr}/100\text{ml}$  حدود  $0.6\text{ gr}/100\text{ml}$  می باشد[۱۴] . بنابراین انتظار می رود که کلرید منیزیم در هنگام ساخت به عنوان عامل دلمه کننده سیستم عمل کند و موجب افزایش درصد آب مصرفی می گردد که خود عاملی برای کاهش استحکام می باشد، از طرف



دیگر هنگام خشک کردن مقدار قابل توجهی از کلرید منیزیم به سطح قطعه مهاجرت می کند و بنابراین از تاثیر آن در تشکیل اسپینل کاسته می گردد. عکس توزیع نقشه ای نمونه  $\text{Cl}_2$  مطابق شکل ۶ نمایشگر تجمع مقداری از سیمانها به دلیل دلمه شدن (مطابق توزیع عنصر Ca) و وجود مقدار کم Mg در زمینه می باشد که نظرات فوق را تایید می کند. اتحلال  $\text{Mg}(\text{OH})_2$  بسیار کمتر از  $\text{MgCl}_2$  می باشد ولی باقیتی توجه نمود که هیدروکسید منیزیم خود چسب جدآگاهه ای می باشد هنگام مخلوط کردن درصدهای کم آن (نمونه  $\text{H}_1$ ) پدیده خاصی مشاهده نمی گردد ولی هنگام مخلوط کردن درصدهای بالای آن ( $\text{H}_3$ ) احتمالاً به دلیل تاثیر نامطلوب دو نوع چسب سیمان آلومینا بالا و هیدروکسید منیزیم بر روی هم، هم میزان آب مصرفی کمی بالا می رود و هم اینکه احتمال خوب پخش نشدن آنها وجود دارد همان طور که شکل میکروسکوپی ۷ نمایانگر وجود  $\text{Mg}(\text{OH})_2$  دیسپرز نشده می باشد. مطابق شکل میکروسکوپی ۸ توزیع عنصر Mg حاصل از تجزیه کربنات بسیار ریز می باشد ولیکن مقداری اگلومراسیون در سیمان بر اساس توزیع نقشه بی عنصر Ca مشاهده می گردد. مطابق شکل میکروسکوپی ۹ توزیع عنصر Mg درشت تر از توزیع عنصر Mg ناشی از تجزیه کربنات می باشد که به درشت کریستال بودن منیزیای زینتر شده استفاده شده بر می گردد و لیکن به دلیل توزیع تقریباً یکنواخت آن در زمینه به همراه توزیع یکنواخت سیمان (مطابق توزیع Ca) شاهد استحکام مناسبی از آن می باشیم.

#### ۴- نتیجه‌گیری

- تهیه جرمهای آلومینا-منیزیا با خواص مکانیکی سرد و ریز ساختار مناسب با مواد اولیه حاوی منیزیای ددبرن و کربنات منیزیم با منیزیای معادل  $91\% \text{wt}$ - $97\%$  قابل انجام است.
- کلرید منیزیم به دلیل اتحلال بالای آن هنگام تهیه جرم و مهاجرت آن به سطح هنگام خشک کردن برای کاربرد در جرمهای آلومینا-منیزیا توصیه نمی شود.
- مصرف هیدروکسید منیزیم به مقادیر کمتر از  $28\% \text{wt}$  در این جرمها قابل انجام است ولی در مقادیر بالاتر به دلیل خاصیت ژلاسیون خود هیدروکسید منیزیم خواص مکانیکی جرمها افت می کند و ریزساختار ناهموژنی در زمینه حاصل می گردد.

#### مراجع

1. Y.C KO "Influence of the characteristics of spinels on the slag resistance of  $\text{Al}_2\text{O}_3$ -MgO and  $\text{Al}_2\text{O}_3$ -Spinel castables" J.Am.Ceram.Soc. 83[9], 2333-2335, 2000
2. S.K.Chen, M.Y.Cheng, S.J.Lin, Y.C KO "Thermal characteristics of  $\text{Al}_2\text{O}_3$ -MgO and  $\text{Al}_2\text{O}_3$ -spinel castables for steel ladles" ceramic International, 28, 811-817, 2002
3. M. Nakashima, T.Isobe, S.Itose, A.Touno, I.Shimizu "Improving the corrosion resistance of alumina-spinel castables by spinel additions" Journal of the Technical Association of Refractories, Japan 21[3] 155-161, 2001
4. F.Simonin, C.Olagnon, S.Moximilien, G.Fantozzi "Thermomechanical behavior of High-alumina refractory castables with synthetic spinel additions" J.Am.ceram.soc. 83[10] 2481-2490, 2000
5. R.W.Mcconnell, R.A.Marra, F.A.Fullington, "Benefits of sintered magnesium aluminate spinels in high purity castable refractories" Refractories Applications and news, vol. 7.NO.20 23-28, 2002
6. M.Fuhrer, A.Hey, W.E.Lee "Microstructural evolution in self-forming spinel/calcium aluminate-bonded castable refractories" J.Eur.ceram.soc. 18,813-820, 1998
7. C.F.Chan, Y.C.KO "A study of commercial Magnesia-Alumina spinels for alumina-spinel castables" Interceram.vol.47.NO.6, 374-378, 1998
8. M.A.Serry, S.M.Hammd, M.F.M. Zawrah "phase composition and microstructure of refractory  $\text{MgAl}_2\text{O}_4$  spinel grains" British ceramic Transactions vol.97, No.6, 1998
9. S.Mukhopadhyay, S.Sen, T.Maiti, M.Mukherjee, B.N.Nandy, B.K.sinhomahapatra. "In situ spinel bonded refractory castable in relation to co-precipitation and sol-gel derived spinel forming agent" ceramics International 29, 857-868, 2003
10. P.Nandi, A.Grag, B.D.chattoraj, M.S.Mukhopadhyoy "Effect of silica and temperature on



- spinel-based high-alumina castables" Am. Ceram.Soc.Bull. 79(12), 65-70, 2000  
11. A.Nishikawa " Technology of monolithic refractories" plibrico Japan, 1984  
12. B. Myhre and B.Sandberg "The use of microsilica in refractory castables" seminar on monolithic refractory, Tehran, Iran, 1997  
13. C.F.Chan, Y.C.KO "Effect of CaO content on the hot strength of alumina-spinel castables in the temperature range of 1000°C to 1500°C ". J. Am.ceram.soc.81 [11], 2957-60, 1998  
14. F.Singer, S.S.Singer, "Industrial Ceramics", Chapman & Hall LTD., London, 1960.

اطلاع یافته‌یم که در هجدهمین جشنواره بین المللی خوارزمی در بخش پژوهش‌های توسعه‌ای آقای مهندس محمد باوند وندچالی از اعضای فعال انجمن با طرح ( افزایش طول عمر آستر نسوز پاتیلهای فولاد سازی با استفاده از نسوزهای جدید ) رتبه دوم این بخش را به خود اختصاص دادند. کسب این مقام را به ایشان تبریک گفته و آرزومندیم شاهد موفقیت‌های بیشتر ایشان در جامعه سرامیک کشور باشیم.



**اولين راهنمای سراميك ايران** به منظور اطلاع رسانی و معرفی کلیه واحدهای صنعتی، تحقیقاتی و آموزشی سرامیکی تهیه گردید. علاقمندان می‌توانند این مجموعه را از دفتر انجمن سرامیک ایران تهیه فرمایند.  
قیمت: ۳۰۰۰۰ ریال / عضو: ۲۰۰۰۰ ریال